

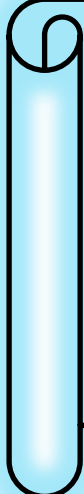
كلية العلوم

القسم : المهنرياء

السنة : الرابعة



٩



المادة : حالة صلبة ٢

المحاضرة : السابعة/نظري/

{{{ A to Z مكتبة }}}
Maktabat A to Z

Maktabat A to Z Facebook Group



كلية العلوم ، كلية الصيدلة ، الهندسة التقنية

يمكنكم طلب المحاضرات برسالة نصية (SMS) أو عبر (What's app-Telegram) على الرقم 0931497960



الخصائص المغناطيسية للأجسام الصلبة

سنركِّز في هذا الفصل على السلوك المغناطيسي للأجسام الصلبة؛ إذ يمكننا فعل ذلك على مرحلتين؛

- نناقش في البداية رد فعل الأجسام الصلبة لدى وضعها في حقل مغناطيسي خارجي، إذ يحدث القليل من أجل معظم المواد؛ فالمفاعيل المغناطيسية ضعيفة ويمكن فهمها إلى حدٍ كبيرٍ من خلال خصائص الذرات المؤلفة للجسم الصلب؛

- وفي المرحلة الثانية، ندرس الحالة الأكثر أهمية والمتمثلة في انتظامٍ مغناطيسيٍ تلقائيٍ يحدث في الجسم الصلب بغياب الحقل المغناطيسي الخارجي، ومن الواضح أنَّ هذه الحالة تُعد ظاهرةً متصلةً بالجسم الصلب التي لا يمكن الحصول عليها من الخصائص الذرية. إذ يبدو من الصعوبة بمكانته، وصف انتظامٍ مغناطيسيٍ بنموذجٍ بسيطٍ. فمن المناسب عادةً دراسة الانتظام المغناطيسي الذي يحدث بين العزوم المغناطيسي السبيئية للإلكترونات. وعندما يمكننا اختيار:

→ إماً نموذج قائم على سينمات موضعية تتأثر فيما بينها بعض الشيء

→ وإماً نموذج قائم على الإلكترونات متعددة تماماً ولكن مع إمكانية سيطرة اتجاه سيني واحد (تمغnet)؛

المشكلة هنا تكمن في توصيفٍ دقيقٍ يقع بين هاتين الحالتين الحديثتين. وثمة صعوبة أخرى تكمن في أن دراسة الإلكترون واحد في الكمون الوسطي لجميع الإلكترونات الأخرى لم يعُد يُعد تقريباً جيداً: فعند وصف تأثير السينمات، تكون الإلكترونات الواقعة في الجوار المباشر لإلكترون معين أكثر أهمية من الإلكترونات البعيدة عنه، وهذا ما لا يمكن فهمه بوساطة كمونٍ وسطيٍ. في كل الأحوال سنحاول وصف التأثيرات المغناطيسية باستخدام تأثيرٍ وسطيٍ يحدث بين الإلكترونات، وعندما سنتمكن من تفسير الظاهرة الأساسية لانتظام بالحد الأدنى.

8-1 الوصف الجهي للمغناطيسية: Macroscopic Description of Magnetism

قبل الشروع في استعراض الخصائص المغناطيسية للأجسام الصلبة من المفيد جداً **مراجعة أساسيات المغناطيسية الساكنة**; نفرض بشكل عام، أن قانون غوص Gauss's Law (تدفق حقل التحرير المغناطيسي من خلال سطح مغلق يساوي الصفر)

$$\oint \vec{B} \cdot d\vec{a} = 0, \quad \text{div } \vec{B} = 0 \quad (1-8)$$

محقق في **المغناطيسية الساكنة**، حيث يشير إلى عدم وجود أحadiات قطب مغناطيسية. فمصادير التحرير المغناطيسي \vec{B} ، هي ثانويات قطب مغناطيسية. يرتبط التحرير المغناطيسي بالحقل المغناطيسي \vec{H} ، في الخلاء بالعلاقة المادية الآتية:

$$\vec{B} = \mu_0 \vec{H}, \quad (2-8)$$

حيث μ_0 النفاذية المغناطيسية للخلاء.

تجدر الإشارة إلى أنَّ واحد تسلا هو حقل مغناطيسي قوي جداً. فالحقل المغناطيسي الأرضي يكون عادةً من رتبة $T^{5} \times 10^{-5}$ ، والحقول المغناطيسية في ماسحات التجاوب المغناطيسي الطبية تبلغ أجزاءً من التسلا وأكثر من واحد تسلا في بعض الحالات.

لدينا في الوسط المادي

$$\vec{B} = \mu_0 (\vec{H} + \vec{M}) = \mu_0 \vec{H} + \mu_0 \vec{M} = \vec{B}_0 + \mu_0 \vec{M}, \quad (3-8)$$

حيث \bar{M} مقدار التمغفط الجهري للجسم الصلب؛ من المفيد النظر إلى $\bar{B}_0 = \mu_0 \bar{H}$ على أنه "حقل خارجي".

يمكن تعريف التمغفط بأنه عدد N عزوم ثنائيات القطب-المغطسي، $\bar{\mu}$ ، في وحدة الحجم، V ،

$$\bar{M} = \bar{\mu} \frac{N}{V}. \quad (4-8)$$

وحدة قياس \bar{M} هي $\text{JT}^{-1} \text{m}^{-3}$.

يوجد في الكثير من الحالات علاقة خطية بين الحقل الخارجي والتمغفط:

$$\mu_0 \bar{M} = \chi_m \bar{B}_0, \quad (5-8)$$

حيث تسمى الكمية χ_m الطواعية المغطسيّة¹، *Magnetic Susceptibility*

→ إذا كانت سالبة، فإن الجسم الصلب عكسي التمغفط *Diamagnetic* (دايامغنتيسي)،

→ أمّا إذا كانت موجبة فإنه طردي التمغفط *Paramagnetic* (بارامغنتيسي).

يمكن الاستعاضة عن استخدام الطواعية بوصف الخصائص المغطسيّة لمادة ما بالنفاذية المغطسيّة النسبية

$$(\text{nفاذية النسبية}), \mu_r, \text{ باختصار) } , \text{Relative Permeability} \cdot \mu_r = 1 + \chi_m$$

نلاحظ أن العلاقة الخطية (5-8) ليست دوماً صالحة؛ إذ في بعض الحالات، لا بد من استخدام توصيف لاخطي.

سنعرض لهذه الحالة عند دراسة التمغفط الحديدي (**الفرومغطسيّة**) *Ferromagnetism*.

بشكل مشابه لثنائي قطب-كهربائي موجود في حقل كهربائي،

$$\boxed{U = -\bar{\mu} \cdot \bar{B}_0} \quad \text{الطاقة الكامنة لثنائي قطب مغطسي موجود في حقل مغطسي } \bar{B}_0, \text{ تساوي} \\ \boxed{U = -V \bar{M} \cdot \bar{B}_0} \quad \text{ومن ثم يمكننا الاعتقاد بأن طاقة حقل جهري حجمه } V \text{ وتمغفته } \bar{M} \text{ تساوي}$$

وهذا أيضاً صحيح، ولكن عندما و فقط عندما يكون \bar{M} مستقلاً عن الحقل \bar{B}_0 . ففي حالة حصول علاقة بين التمغفط والحقل الخارجي، كما في المعادلة (5-8)، لا بد من الأخذ بالحسبان أن تغير الطاقة من أجل تزايد صغير في الحقل $d\bar{B}_0$ ، يتعلّق بالتمغفط الذي تحرّض، حيث يُصبح تغير الطاقة مساوياً $dU = -V \bar{M} \cdot d\bar{B}_0$.

وعند تشغيل الحقل بدءاً من الصفر حتى قيمة ما B_0 ، نحصل على الطاقة الآتية:

$$U = -V \int_0^{B_0} M dB'_0 = -V \int_0^{B_0} \frac{\chi_m}{\mu_0} B'_0 dB'_0 = -V \frac{\chi_m}{2\mu_0} B_0^2, \quad (6-8)$$

حيث أهملنا السلوك الشعاعي لـ \bar{M} و \bar{B}_0 لأن التمغفط والحقول إما متوازيان Parallel وباتجاهين متعاكسين Antiparallel.

- وبهذا الشكل، تكون الطاقة U سالبة من أجل جسم صلب **بارامغطسي**، ما يوافق تناقصاً طافياً من أجل الحقول العالية؛ ومن ثم تعرّض الأجسام الصلبة البارامغطسيّة لقوّة باتجاه أماكن وجود الحقل المغطسي الأكثـر شدـة، أي تنجذب نحو أي قطب من قطبي المغناطيس الثابت.

- ومن أجل الأجسام الصلبة **الدايامغطسيّة** يحدث العكس، حيث تبعد عن أماكن وجود الحقول المغطسيّة الأكثـر شدـة.

- وكما سنرى لاحقاً، تكون χ_m صغيرة جداً عادةً، بحيث لا تكون هذه المفاعيل ملحوظةً عند التعامل مع مغنتيس ثابت وأجسام صلبة دايامغطسيّة أو بارامغطسيّة.

¹ لاحظ هنا أن χ_m من دون وحدة قياس. ولكن ثمة وحدات قياس لـ χ_m في المراجع، يمكن إيجادها تبعاً لتعريف \bar{M} ؛ كتمغفط في وحدة الحجم في وحدة

مول واحدة من المادة. يُعرف χ_m ضمن بعض الفرضيات بأنه يساوي $\mu_0 \partial \bar{M} / \partial \bar{B}_0$.

من المهم تفسير الظواهر المغناطيسية هذه وفقاً لتصورٍ تقليديٍ بسيطٍ؛ ففي حالة التمغناط **العكس** ينتج مثل هذا التفسير من قانون لنسز Lenz's Law مباشرةً:

○ تعرّض كل الإلكترونات في الذرات المؤلفة للجسم الصلب **للحقل المغناطيسي الخارجي والمترافق** شيئاً فشيئاً، مما يؤدي إلى تحرير تيارات مجهرية.

○ وتبعاً لهذا القانون **يعاكس العزم المغناطيسي** الناتج عن هذه التيارات المجهرية **الحقل الخارجي** ومن ثم يُرصد سلوك دايامغناطيسي للجسم.

○ وفي الوقت الذي توجد فيه **الدايامغناطيسية** دوماً، يمكن للبارامغناطيسية أن تُرصَد عندما وفقط عندما تُثبَّت الذرات في الجسم الصلب عزماً مغناطيسياً صريحاً (محصلة العزوم لا تساوي الصفر) بدون حقل خارجي.

○ يمكن لمثل هذه العزوم المغناطيسية أن تترافق مع الحقل الخارجي مؤدياً إلى ربح طافي.

○ ليس بالضرورة أن تمتلك الذرات عزماً مغناطيسياً صريحاً، لأن **جميع العزوم المغناطيسي للإلكترونات**، المدارية والسبينية، يمكن أن تغلي بعضها بعضاً، ولكن عند وجود عزم صريح كهذا، تسود الدايامغناطيسية عادةً.....

8-2 وصف الميكانيك الكمومي للمغناطيسية : Quantum Mechanical Description

جرى التعويل على الميكانيك الكمومي لتفسير المغناطيسية بسبب فشل الفيزياء التقليدية في تفسيرها. وهنا تقارب الموضوع من وجهة نظر عامة جداً متساءلين؛ **كيف تتغير طاقة الإلكترون عند تطبيق حقل مغناطيسي ضعيف**، يُعتبر عنه في معادلة شرودنغر كاضطرابٍ صغيرٍ. يمكن تطبيق هذه المعالجة من حيث المبدأ على الذرات والأجسام الصلبة. طبعاً الحالـة في الذرات المزعولة تتعقد بحكم أن العزوم المغناطيسية للكثير من الإلكترونات في الذرة يجب أن تُجمع بطريقة صحيحة (هذا ما سنفعله في الفقرة اللاحقة). فضلاً عن أن ذلك لا يُغيّر المبادئ الفيزيائية المعروضة هنا.

قبل أن نطبق **نظريـة الاضطراب** لرؤـية **كيف يُغيـر حـقل مـغـناـطـيـسي طـاقـة إـلـكـتروـن** يجب أن نـناقـش **كيف تـتـغـيـر معادلة شرودنغر بـوـجـود حـقل كـهـرـطـيـسي**؛

لوصف ذلك بطريقة ملائمة، نحتاج لمفهوم ما يسمى **الكمون المتجه** Vector Potential، الذي قد يكون غير مألف هنا. تكمن الفكرة الرئيسية في الآتي:

يمكن للحقل الكهربائي، (\vec{E}) ، أن يتولد في الكهرباء الساكنة من كمون، $(\vec{r})\phi$ ، حيث نعلم أن $(\vec{E}) = -\text{grad} \phi(\vec{r})$ ؛ فإدخال هذا الكمون يُبسط الكثير من الحسابات عندما نريد إيجاد الكمون السُّلْمِي فقط بدلاً من الكمون المتجه؛ وبسبب عدم وجود أحadiات قطب-مغناطيسية يستحيل إيجاد كمون سُلْمِي مشابه من أجل الحقل المغناطيسـي، غير أنه يمكن تعريف ما يسمى **بالكمون المتجه** بحيث يحقق المساواة:

$$\vec{B} = \text{rot} \vec{A}. \quad (7-8)$$

سـنـرى أن إدخـال \vec{A} يـبـسط رـيـط الحـقل الكـهـرـطـيـسي الـخـارـجي بـمـعـادـلة شـرـودـنـغر كـثـيرـاً وـيـبـسط التـرمـيز عـندـ الحصول عـلـى المعـادـلة المـوجـية من أـجـلـ الحـقل الكـهـرـطـيـسي من معـادـلات مـكـسوـيل مـثـلاً.

إن وجود الكـموـنـينـ المـتجـهـ $(\vec{r})\phi$ وـالـسـلـمـيـ $(\vec{r})\vec{A}$ يـبـسط قـوـاعـد رـيـطـ الحـقلـ الكـهـرـطـيـسيـ الـخـارـجيـ بـمـعـادـلة شـرـودـنـغرـ إلىـ حدـ كـبـيرـ:

يـظـهـرـ تـأـثـيرـ الـكـموـنـ السـلـمـيـ بـشـكـلـ صـرـيحـ بـمـثـابةـ إـضـافـةـ فـقـطـ لـكـموـنـ المـوجـودـ أـصـلـاًـ بـحـيثـ نـصـرـيهـ بـشـحـنةـ q ـ،ـ الـجـسـيـمةـ المـوـصـوفـةـ بـمـعـادـلةـ شـرـودـنـغرـ وـنـصـيفـهـ إـلـىـ الـهـامـلـتوـنـ.

والـحـقلـ المـغـناـطـيـسيـ مـوـجـودـ مـنـ خـلـالـ اـسـتـبـدـالـ مـؤـثرـ الـانـدـفـاعـ $\vec{p} = i\hbar\vec{\nabla}$ ـ بـالـمـؤـثرـ

$$\vec{p} \rightarrow \vec{p} - q\vec{A}. \quad (8-8)$$

لنعود الآن إلى المسألة الأساسية ونكتشف، كيف يغير حقل مغناطيسي خارجي ضعيف طاقة الإلكترون في ذرة:

ليكن لدينا حقل مغناطيسي شدته B_0 فقط في الاتجاه z ، بحيث أن $\vec{B}_0 = (0, 0, B_0)$ يساوي الكمون المتجه الذي يولّد هذا الحقل

$$\vec{A} = -\frac{1}{2}\vec{r} \times \vec{B}_0, \quad (9-8)$$

حيث يمكن التتحقق من ذلك بحساب $\text{rot } \vec{A}$ بشكل واضح.

نعلم بأنَّ الكمون المتجه يؤثِّر فقط في حدَ الطاقة الحركية للإلكترون، دون الحاجة هنا للتعامل مع الطاقة الكامنة. فحَّد الطاقة الحركية الأصلية للهايبرون يُعدَّ الآن وفق الآتي:

$$\begin{aligned} H_{kin} &\rightarrow H'_{kin}, \\ \frac{\vec{p}^2}{2m_e} &\rightarrow \frac{(\vec{p} + e\vec{A})^2}{2m_e} = \frac{1}{2m_e} \left(\vec{p} - e \frac{\vec{r} \times \vec{B}_0}{2} \right)^2. \end{aligned} \quad (10-8)$$

يمكن كتابة العلاقة الأخيرة بالشكل

$$H'_{kin} = \frac{1}{2m_e} \left(\vec{p}^2 - e\vec{p} \cdot (\vec{r} \times \vec{B}_0) + \frac{e^2}{4} (\vec{r} \times \vec{B}_0)^2 \right),$$

وباستخدام المطابقة $\vec{p} \cdot (\vec{r} \times \vec{B}_0) = \vec{B}_0 \cdot (\vec{r} \times \vec{p}) = -\vec{c} \cdot (\vec{b} \times \vec{a})$ ، يمكننا كتابة المساواة

$$H'_{kin} = \frac{1}{2m_e} \left(\vec{p}^2 + e\vec{B}_0 \cdot (\vec{r} \times \vec{p}) + \frac{e^2}{4} (\vec{r} \times \vec{B}_0)^2 \right), \quad (11-8)$$

بمقدورنا الآن استعمال \vec{B}_0 كمركبة في الاتجاه z فقط، بحيث يكون $\vec{B}_0 = (0, 0, B_0)$.

$$H'_{kin} = H_{kin} + H' = \frac{\vec{p}^2}{2m_e} + \frac{e}{2m_e} \vec{B}_0 \cdot (\vec{r} \times \vec{p})_z + \frac{e^2}{8m_e} B_0^2 (x^2 + y^2). \quad (12-8)$$

→ يُمثِّل الحد الأول في هذه العلاقة الطاقة الحركية الأصلية (القديمة)، H_{kin} ،

→ والحدان الثاني والثالث يُمثِّلان الاضطراب الناتج عن تطبيق الحقل المغناطيسي.

والتغير الطيفي الناتج عن الاضطراب الأخير يساوي $E' = \langle \psi | H' | \psi \rangle$ ، ومن ثم

$$E' = \frac{e}{2m_e} B_0 \langle \psi | (\vec{r} \times \vec{p})_z | \psi \rangle + \frac{e^2}{8m_e} B_0^2 \langle \psi | (x^2 + y^2) | \psi \rangle. \quad (13-8)$$

→ يُمثِّل الحد الثاني في الطرف الأيمن من العلاقة (13-8) التمagnet العكسي (الدايامغناطيسي)، ويمكننا رؤية ذلك

منحقيقة، أنَّ هذا الحد موجب دوماً، ومن ثمَّ الحقل المغناطيسي المرتفع يتراافق بزيادة طافية؛

يُعيِّن المؤثر $(x^2 + y^2)$ القيمة المتوقعة لمربع بُعد الإلكترون عن مبدأ الإحداثيات في المستوى العمودي على الحقل، وفي حالة ذرة، يجب أن تكون النواة هي مبدأ الحساب.

→ يحوي الحد الأول في العلاقة (13-8) الاندفاع المداري الزاوي للإلكترون الذي يمتلك مسقطاً على اتجاه

الحقل (z)؛ وهو حد التمagnet الطردي (البارامغناطيسي) الذي يؤدي لانخفاض طافي عند تراصف العزم المغناطيسي للإلكترون مع الحقل الخارجي.

ويحدث ذلك، عندما تكون المركبة- \vec{J} للاندفاع الزاوي، $(\vec{p} \times \vec{r})$ ، سالبةً، أي عندما يكون مسقط الاندفاع المداري الزاوي في اتجاه معاكسٍ لاتجاه الحقل. وهي حالة طبيعية بالنسبة للإلكترون، **لكون الاندفاع المداري الزاوي للإلكترون والعزم المغنتيسي المرتبط به متعاكسين**، على اعتبار شحنة الإلكترون سالبة.

وأخيراً، **يمتلك الإلكترون أيضاً سبيلاً** (عزمًا ميكانيكيًا ذاتياً) وعزمًا مغنتيسيًا مرتبًا به، وهو مفعول نسبي، ومن ثم ليس موجوداً في معادلة شروdonfer اللانسبية؛ يمكننا إضافته إلى المعادلة (13-8) كاضطرابٍ إضافي للطاقة، يُعطى بالشكل:

$$g_e m_s \frac{e\hbar}{2m_e} B_0 = g_e m_s \mu_B B_0 , \quad (14-8)$$

حيث μ_B **مغناطون بور** وقيمه $= 5.788 \times 10^{-5} \text{ eV T}^{-1} = 9.274 \times 10^{-24} \text{ JT}^{-1}$ ، و m_s العدد الكومومي المغنتيسي السيني الذي يمكن أن يأخذ القيمتين $-\frac{1}{2}$ و $\frac{1}{2}$ ، و $g_e \approx 2$ النسبة الجيرومغنتيسية² من أجل الإلكترون.

3-8 التمغnetط الطردي والتتمغnet العكسي في الذرات

إن التمغnetط الطردي في الذرات أعقد بقليل مما تم وصفه أعلاه، لأن العزوم المغنتيسي السينية والمدارية يتآثر بعضها مع بعض ومساهمات الإلكترونات المختلفة يمكن أن يفني بعضها بعضاً. ومن جهة أخرى، يمكن دراسة التمغnet العكسي في الذرات من خلال **جمع** مساهمات كل الإلكترونات. طبعاً يمكننا هنا وصف كلتا الظاهرتين، ولكننا سندرس التمغnetط الطردي فقط من أجل حالة بسيطة، ومن أجل الاسترادة يستطيع الطالب العودة إلى المراجع التي تعنى بميكانيك الكم أو الفيزياء الذرية.

ينتج العزم المغنتيسي لذرة من عزمين؛ العزم الزاوي **المداري** والعزم الزاوي **السيني**؛ في ذرة هيروجين واحدة يتراافق العزم الزاوي المداري، \vec{L} ، بإلكترون **مفرد** (يُقاس بوحدة \hbar) بعزم مغنتيسي، $\vec{\mu}$ ، يُعطى بالعلاقة:

$$\vec{\mu} = -\frac{e\hbar}{2m_e} \vec{L} = -\mu_B \vec{L} . \quad (15-8)$$

- **يتزوج** هذا العزم المغنتيسي حول اتجاه الحقل المغنتيسي المطبق، كما يوضح الشكل (1a-8).
- ثُم إن **مركبة** العزم المغنتيسي المداري، μ_l ، على اتجاه الحقل **مكمّة** وتحتها **بالعدد الكومومي المغنتيسي**، m_l ، وتأخذ سلسلة القيم المتقطعة الآتية فقط:

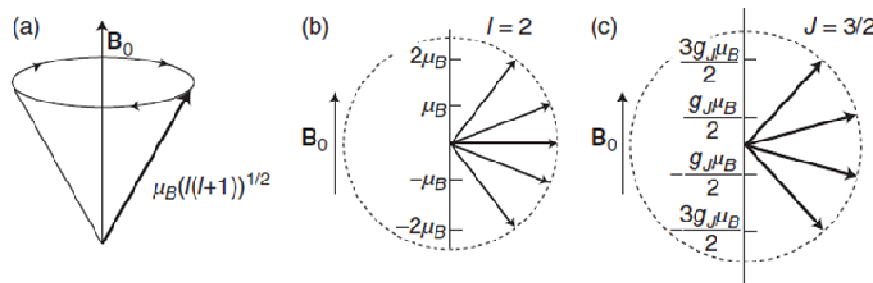
$$\mu_l = -\frac{em_l \hbar}{2m_e} = -m_l \mu_B . \quad (16-8)$$

إذا كان l العدد الكومومي المداري، فإن m_l **يأخذ** $2l+1$ **قيمة**، أي القيم $+l, \dots, 0, \dots, -l$. والشكل (1b-8) يوضح ذلك من أجل $l=2$.

كما أن الحالة من أجل السيني \vec{S} (الذي يُقاس بوحدة \hbar أيضًا) مشابهة جداً للحالة السابقة؛ فهي **تؤدي** أيضًا إلى عزم مغنتيسي، يساوي:

$$\vec{\mu} = -g_e \mu_B \vec{S} , \quad (17-8)$$

² نسبة العزم المغنتيسي إلى الاندفاع الزاوي لجملة ما



الشكل (1-8): (a) تَرْجُع العزم المغناطيسي الذري في حقل خارجي.

(b) الاتجاهات الممكنة للعزم المغناطيسي في اتجاه الحقل الخارجي من أجل الهيدروجين بـ $I = 2$.(c) الاتجاهات الممكنة للعزم المغناطيسي في اتجاه الحقل الخارجي من أجل شاردة الكروم ($J = 3/2$). Cr^{3+}

وإلى عزوم مغناطيسية ممكنة على اتجاه الحقل الخارجي، تساوي:

$$\mu_s = -g_e m_s \mu_B, \quad (18-8)$$

كما جرى مناقشتها في الفقرة السابقة. بما أن $g_e \approx 2$ ، فهذا يعني أن $\mu_s \approx \pm \mu_B$.تمتلك ذرة الهيدروجين في الحالة الأرضية العددان $n=1$ و $l=0$ ، ومن ثم ينتج عزم مغناطيسية سيني صرف.

ماذا بشأن الذرات الأكثر تعقيداً، المتعددة الإلكترونات وب شأن التأثير بين العزوم المغناطيسية السينية والمدارية؟

→ تُبسط هذه المسألة كثيراً إذا ما لاحظنا أن العزم المغناطيسي المداري الكلّي يساوي الصفر من أجل الطبقة الإلكترونية *Electron Shell* الممثلة تماماً، أي من أجل جملة العددان الكوميين n و l ، لأن المركبات في

اتجاه الحقل تساوي تماماً المركبات في الاتجاه المعاكس لاتجاه الحقل.

→ كما أن العزم المغناطيسى السيني الكلّي يساوى الصفر أيضاً، بسبب وجود أعداد متكافئة من الإلكترونات بعضها بسبعين $\frac{1}{2}^+$ وبعضها الآخر بسبعين $\frac{1}{2}^-$.

→ ولذلك، ينصب اهتمامنا فقط على الطبقات غير الممثلة:

○ لا بد في البداية من إيجاد الاندفاع الزاوي الكلّي الذي يوصف بالعدد الكومي J ؛ وبعد ذلك، يجبأن نحسب العزم المغناطيسي المرتبط بـ J ؛○ بشكل مشابه لحالة العزم المغناطيسي المداري، توجد $2J+1$ إمكانية لتوجيه العزم الزاوي بالنسبة لحقل

مغناطيسي (بعزوم مغناطيسية في اتجاه الحقل)، تُعطى العلاقة:

$$\mu_J = -g m_J \mu_B, \quad (19-8)$$

حيث g عدد يسمى عامل انشطار لاندي *Landé Splitting Factor* (عامل الانشطار المغناطيسي الذي يأخذ بالحسبان

اختلاف النسب الجيرومغناطيسية للعزوم المدارية والسينية الداخلة في العزم المغناطيسي الكلّي للذرة)

و m_J العدد الكومي المغناطيسي الموافق لـ J .

يمكن حساب العزم الزاوي الكلّي للإلكترونات كمجموع متوجه للعزوم السينية والمدارية. هذه العزوم مستقلة من أجل

الذرات الخفيفة (بتأثير أو اقتران سيني إلكتروني ضعيف *Weak Spin-Electron Coupling*) فضلاً عن أنه يمكنتطبيق ما يسمى مخطط الاقتران $L-S$ هنا. وبذلك، يمكن الحصول على الأعداد الكومية من أجل العزمين الكليين

المداري والسيني من المساواتين:

$$L = \sum m_l; \quad S = \sum m_s. \quad (20-8)$$

ومرة أخرى، يمكننا أن نرى أن L و S يساويان الصفر من أجل الطبقات الممتنعة، لأن جميع العزوم الزاوية تُعدّ بعضها بعضاً. أمّا من أجل الطبقات اللاممتنعة، فإن حساب L و S يتم وفق قواعد هوند *Hund's Rules* الآتية:

1) **تصطف** سينات الإلكترونات بحيث نحصل على **القيمة القصوى** لـ S المتفقة مع مبدأ باولي.

2) من أجل S معطى، **نختار** الأعداد الكومومية m_s بحيث يتم بلوغ **القيمة القصوى** لـ L .

3) **يُحسب** J في الحالة الأرضية؛

- كفارق بين L و S ($J = L - S$) عندما يكون أقل من نصف الطبقة ممتنعاً.

- وكمجموع لـ L و S ($J = L + S$) عندما يكون أكثر من نصف الطبقة ممتنعاً.

- ووفق الثنائية $S = J$ و $L = 0$ إذا كان نصف الطبقة ممتنعاً.

1. تنتج القاعدة الأولى من مفعول مشابه للتفاعل المتبادل، الذي تعاملنا معه عند دراسة جزيء الهيدروجين في **مقررات أخرى**: إذا احتجنا لأن تكون السينات متوازية، فيجب أن تتوزع الإلكترونات في المدارات بأعداد كومومية مدارية، m_s ، مختلفة؛ إذ بما أن التوابع الموجية الفراغية لهذه المدارات **متعامدة** بالتبادل، فإن الإلكترونات تبقى بعيدة عن بعضها البعض مما يقلل من التنافس الكولوني فيما بينها.

2. **ومنشأ** القاعدة الثانية يبدو أقل وضوحاً، ولكن **مرتبط** كييفياً بحقيقة أن التنافس الكولوني ينخفض أيضاً عندما "تدور الإلكترونات حول النواة في الاتجاه نفسه".

3. **تحفّض** القاعدة الثالثة **الطاقة** بوجود التزاوج السبياني - المداري إلى أدنى حد؛

يمكن تحقيق هذه القواعد تجريبياً ونظرياً، ولكننا هنا، لن نفصل أكثر في هذا السياق.

لندرس بمثابة مثال، **أيون الكروم** Cr^{3+} الذي يأخذ توزعه الإلكتروني الشكل $[\text{Ar}]3d^3$:

- تستوجب قاعدة هوند الأولى أن يكون $S = \frac{1}{2} + \frac{1}{2} + \frac{1}{2} = \frac{3}{2}$ وقيم m_s الممكنة من أجل الطبقة d :
 $-2, -1, 0, 1, 2$

- وتستوجب قاعدة هوند الثانية قيمة L أكبر ما يمكن، أي يجب أن نختار $m_s = 0, 1, 2$ ، ومن ثم
 $L = 0 + 1 + 2 = 3$

- وأخيراً، تنص قاعدة هوند الثالثة من أجل الطبقات التي أقل من نصفها ممتنع على أن $J = L - S = 3 - \frac{3}{2} = \frac{3}{2}$. ولذلك، يأخذ العدد الكومومي المغناطيسي القيم: $\frac{3}{2}, -\frac{3}{2}, \frac{1}{2}, -\frac{1}{2}, \frac{1}{2}, \frac{3}{2}$ ، لأن عدد القيم الممكنة لتوجيه العزم الزاوي باتجاه الحقل المغناطيسي تساوي $m_J = 2(\frac{3}{2}) + 1 = 4$.

لحساب العزوم المغناطيسي الممكنة ينقصنا فقط عامل لاندي⁴ للانشطار المغناطيسي Lande Factor الذي يعطي

بالعلاقة الآتية:

$$g_J = \frac{3J(J+1) + S(S+1) - L(L+1)}{2J(J+1)}. \quad (21-8)$$

والشكل (21-8) يوضح الاتجاهات الممكنة للعزوم المغناطيسي من أجل الأيون Cr^{3+} .

³ لاحظ أنه حتى من أجل الطبقات الممتنعة جزئياً، يمكن الحصول على $J = 0$ إذا $L = S$. ومن ثم ستفترض المعادلة (19-8) أن ذلك لن يؤدي إلى أي عزم مغناطيسي. وهذا ليس صحيحاً تماماً ولكن لن ندرس هذه الحالة هنا.

⁴ عامل ثابت يستخدم لتقدير تغير مستوى الطاقة في حقل مغناطيسي وهو التصحيف الناتج عن عدم وجود تناسب بسيط بين العزم المغناطيسي الكلي للذرة أو النواة أو الجسيم واندفاعه الزاوي، يسمى g-factor أيضاً.

بهذا الشكل، نرى أن الذرات أو الأيونات تُبدِّي سلوكاً بارامغنتيسياً عندما تمتلك طبقات مفتوحة فقط؛ وهذا يختلف عن الدايماغنتيسية الموجودة دوماً، لأنها ناتجة من جميع الإلكترونات في الذرات وردود أفعالها للحقل المغنتسي. سنرى أن المفاعيل الدايماغنتيسية ضعيفة جداً دوماً وأن البارامغنتيسية تسود إن وجدت.

لقد حسبنا **التصحيح الطaci الناتج عن الدايماغنتيسية** في المعادلة (8-13). والآن يمكننا استعمال هذه العلاقة لتقدير مقدار العزم المغنتسي المافق في ذرة. فكما فعلنا عند استنتاج العلاقة (8-6)، يجب أن نأخذ بالحسبان أن **العزم المغنتسي الميكروسكوبى (المجهري)** يتحرج بالحقل المغنتسي، ولذلك فهو مرتبط به. بهذا الشكل نحصل على العلاقة الآتية:

$$\mu = -\frac{\partial E'}{\partial B_0} = -\frac{\partial}{\partial B_0} \left[\frac{e^2}{8m_e} B_0^2 \langle \psi | (x^2 + y^2) | \psi \rangle \right] = -\frac{e^2}{4m_e} B_0 \langle \psi | (x^2 + y^2) | \psi \rangle. \quad (22-8)$$

يمكن حساب ذلك إذا كانت التوابع الموجية معلومة.

لتقدير قيمة العزم المغنتسي جيداً، نجري بعض التقريرات:

• من أجل توزع إلكتروني متوازن كروياً، $x^2 = y^2 = z^2$.

→ تساوي المسافة التربيعية الوسطية لإلكترون عن النواة $r^2 = x^2 + y^2 + z^2$,

→ ومن ثم $r^2 = \frac{2}{3} r_a^2 + y^2$ ، ونجد r_a نصف قطر الذري، $r_a = \sqrt{\frac{3}{2} r^2}$.

بالإضافة إلى ذلك، لا تحوي الذرة **إلكتروناً واحداً** وحسب، بل Z إلكتروناً لا بد من أخذها جميعاً بالحسبان بهدف الحصول على **توزيعات احتمالية** بقيمة قصوى حادة Sharp Maximum عند البعد (نصف قطر) r_a .

وبهذا الشكل، نحصل على علاقة من أجل العزم الدايماغنتسي لذرة، والذي يساوي:

$$\mu = -\frac{Ze^2}{4m_e} B_0 \frac{2}{3} r_a^2 = -\frac{Ze^2}{6m_e} r_a^2 B_0. \quad (23-8)$$

التقرير المتمثل بوضع كل الإلكترونات في "مدار" بنصف قطر ذري واحد ليس دقيقاً جداً وهذا التقرير بالإضافة إلى أن العلاقة تحوي r_a^2 ، يؤدي قولاً واحداً إلى مبالغة في تقدير μ ؛ غير أنها وبصرف النظر عن ذلك، سنرى أن التقدير الناتج والمبالغ فيه صغير جداً.

4-8 التمagnet الضعيف في الأجسام الصلبة Weak Magnetism in Solids :

تسعى المفاعيل المغنتيسية في الأجسام الصلبة، كما سنرى لاحقاً، لأن تكون ضعيفة جداً **باستثناء حالات الانظام المغنتسي والناقليه الفائقة**. سنشق هنا مصادر هذا التمagnet الضعيف التي نجد أنها مرتبطة مباشرةً بالنتائج التي حصلنا عليها من أجل الذرات في الفقرة الأخيرة. ما هي توقعاتنا حول التمagnet في الأجسام الصلبة المرتبط بالتمagnet في الذرات؟ تنشأ الدايماغنتيسية التي جرت مناقشتها أعلاه من كل الإلكترونات الموجودة في الذرة؛ إلكترونات التكافؤ وإلكترونات قلب الذرة، ولذلك، لن يتغير الكثير عندما تكون الجسم الصلب. في الواقع، يمكننا النظر إلى الجسم الصلب ببساطة على أنه **غمامة مكثفة من الذرات** ونحسب الطوعية الدايماغنتيسية من أجل هذه الغمامه الذريه. التصحيح الوحيد لهذا التصور يكمن في الدايماغنتيسية للإلكترونات المتحولة في الفلزات التي سنأخذها بالحسبان **منفصلة** (أي كل على حدة).

وفي حالة البارامغنتيسية تكون المسألة أكثر تعقيداً. إذ بصرف النظر عن أن العديد من **الذرات** بطبقات خارجية مفتوحة يجب أن **يمتلك** عدداً كمومياً / مختلفاً عن الصفر وبالتالي عزماً مغناطيسياً ثابتاً، إلا أن القليل من الأجسام الصلبة في

الواقع، يُبدي هذا السلوك؛ **يبدو أن العزم المغناطيسي يتلاشى عند تشكّل الجسم الصلب**. ويمكن فهم سبب ذلك بسهولة من أجل الأجسام الصلبة الأيونية على وجه الخصوص. إذ بصرف النظر عن أن الذرات المساهمة تمتلك بوجه عام عزماً مغناطيسياً ذرياً بفضل طبقاتها المفتوحة، إلا أن الأجسام الصلبة الأيونية لا تمتلك هذا العزم، لأنها تتآلف بصورة أساسية من أيونات بطبقات مغلقة فقط. وثمة حالة مشابهة لذلك، وجدت من أجل الروابط التساهمية. لندرس على سبيل المثال جزيء الهيدروجين؛ فعلى الرغم من أن الإلكترونات في ذرات الهيدروجين المعزلة تمتلك سبيباً محصلاً يساوي $\frac{1}{2}$ ، إلا أن الحالة الأرضية للجزيء تمتلك سبيباً صفرانياً ومن ثم لا تمتلك عزماً مغناطيسياً على الإطلاق.

بهدف الحصول على جسم صلب بارامغناطيسي "جيد" لا بد من وجود ذرات طبقات مفتوحة، لا تُسهم في الترابط، ومن ثم لا تُغير خصائصها كثيراً عند تشكّل الجسم الصلب. والحالات المحتملة المرشحة لذلك، يمكن أن تكون الحالات **d المتوضعة**- نسبياً، في الفلزات الانتقالية 3d و 4d، ولكن الإلكترونات-d في هذه الحالات تبقى مساهمة في الترابط بشكل ملحوظ. ولذلك، فإن **أفضل الأمثلة على البارامغناطيسية شبه- الذرية في الأجسام الصلبة** وجدت في مركبات العناصر الترابية النادرة-4f، لأن الإلكترونات 4f في الواقع، متوضعة جداً.

1-4-8 المساهمات الدايامغناطيسية :Diamagnetic Contributions

1-4-8-1 المساهمات الناتجة من الذرات :Contribution from Atoms

يمكن تقدير المساهمة **الذرية** في الطواعية الدايامغناطيسية لجسم صلب من العلاقات

$$\mu = -Ze^2 r_a^2 B_0 / 6m_e \quad \text{و} \quad (23-8) \quad \bar{M} = \bar{\mu} N/V \quad \text{و} \quad (4-8)$$

$$\boxed{\chi_m = \mu_0 \frac{M}{B_0} = -\frac{\mu_0 ZNe^2}{6Vm_e} r_a^2} \quad (24-8)$$

وهي دوماً صغيرة جداً، من رتبة نحو 10^{-5} (أقل بكثير من الواحد)، أي أن التمagnet في العينة أضعف بكثير من الحقل المغناطيسي الخارجي؛ وطالما أنها مفعول ذريٌّ صرف، فإنها مستقلة عن درجة الحرارة أيضاً.

1-4-8-2 المساهمات الناتجة من الإلكترونات الحرة :Contribution from the Free Electrons

تُبدي الإلكترونات شبه الحرية في الفلزات، في **توصيف ميكانيك الكم** للمسألة المطروحة، مساهمة دايامغناطيسية في الطواعية المغناطيسية أيضاً. تُعطى هذه المساهمة **هنا من دون استنتاج** بالعلاقة:

$$\boxed{\chi_m = -\frac{1}{3V} \mu_B^2 \mu_0 g(E_F) \left(\frac{m_e}{m^*} \right)^2}. \quad (25-8)$$

العناصر الرئيسية لهذه المساهمة هي بدائية تماماً؛

- أولاً وقبل كل شيء هناك **عند طاقة فرمي**، توجد وبشكل دائم **كثافة الحالات** المرتبطة بحقيقة أن الإلكترونات القريبة **فقط** من طاقة فرمي يمكنها أن تستجيب لحقل مغناطيسي (أو تقوم بأي تهيج آخر منخفض الطاقة).
- أضف إلى ذلك، تتعلق الطواعية المغناطيسية بنسبة كثافة الإلكترون إلى **الكتلة الفعالة**؛ فكلما قلت الكتلة الفعالة تعززت المساهمة الدايامغناطيسية.
- وبالمحصلة، **المساهمة الدايامغناطيسية للإلكترونات الحرة صغيرة جداً**، ومن نفس رتبة مساهمة الذرات.

8-4-2 المساهمات البارامغنتيسية Paramagnetic Contributions

ندرس مساهمتين في البارامغنتيسية على غرار ما فعلنا عند دراسة الدايماغنتيسية:

- ❖ تكمن المساهمة الأولى في تراصف العزوم المغنتيسية الذريّة الموجودة في الفلزات
- ❖ وتتشاء المساهمة الأخرى من الإلكترونات الحرة فيها.

و سنرى أن المساهمة الأولى، عند وجودها في الأجسام البارامغنتيسية، تكون عادةً أقوى بكثير من المساهمة

الثانية وأشد من الاستجابة الدايماغنتيسية، ولذلك تُعد المساهمة المسيطرة على الخصائص المغنتيسية.

تجدر الإشارة إلى أن رتبة المساهمة الثانية من نفس رتبة المساهمة الدايماغنتيسية للإلكترونات الحرة، إلا أن فهمها أسهل ومناقشتها مفيدة عند التوصيف اللاحق لانتظام المغنتسيي التلقائي.

1-2-4-8 بارامغنتيسية كيوري Curie Paramagnetism

لندرس جسماً صلباً متبلوراً بوحدة خلية تحوي ذرةً بعزم مغنتيسى متوضعاً؛ يمكن لعزم كهذا أن ينبع مثلاً، من أيون بطبقة 4f ممثلاً جزئياً. إن معالجة جملة بهذه مؤلفة من عزوم مغنتيسية مستقلة ومتوضعة ويمكن تمييزها، تُعد مثالاً نموذجياً في الفيزياء الإحصائية، يمكن الحصول على تفاصيله من المراجع؛ حيث نكتفي هنا بكيفية الحصول على التمغنت الوسطي والطوعية.

نعلم بأن المستويات الطافية الممكنة للعزم المغنتسيي يوجد حقلٌ خارجيٌ تعطى بالمقدار $g_J \mu_B m_J B_0$ (راجع الشكل (1c-8))، حيث $\bar{\mu} = -U$.

- أخفض مستوى طaci هنا هو $g_J \mu_B J B_0$ ، ويتم الحصول عليه من أجل تلك الحالة التي تتناظم فيها المركبة-z للعزم المغنتسيي، $g_J \mu_B J$ ، بشكل موازٍ للحقل B_0 .
- بهذا الشكل، نستطيع حساب العزم الوسطي في اتجاه الحقل الخارجي عن طريق توسيط كل العزوم الممكنة باستعمال مضروب بولتزمان من أجل احتمالياتها الفردية

$$\bar{\mu} = \frac{1}{Z} \sum_{m_J=-J}^J g_J \mu_B m_J \exp\left(\frac{g_J \mu_B m_J B_0}{k_B T}\right) = \frac{1}{Z} \sum_{m_J=-J}^J g_J \mu_B m_J \exp(\beta), \quad (26-8)$$

حيث $\beta = g_J \mu_B B_0 / k_B T$

و عند تنظيم (معايير) المجموع مع مجموع الاحتمالات الكلّي، أي مع ما يسمى المجموع الإحصائي (تابع التحاصص) Partition Function

$$Z = \sum_{m_J=-J}^J \exp\left(\frac{g_J \mu_B m_J B_0}{k_B T}\right) = \sum_{m_J=-J}^J \exp(\beta). \quad (27-8)$$

إن تفاصيل ذلك معقدة جداً، باشتثناء جملة سبين الـ $\frac{1}{2}$ ، المؤلفة من حالتين كعوميتين، التي سنعود إليها لاحقاً: ولكن طالما أن العزم المغنتسيي الوسطي، $\bar{\mu}$ ، تعين فيمكننا حساب التمغنت الكلّي للعينة وفق العلاقة (4-8). والشكل (2-8)

يوضح نتيجة الحساب كتابي للمتغير $\beta = g_J \mu_B B_0 / k_B T$.

$$\bar{\mu} = \frac{\sum_{m_J=-J}^J g_J \mu_B m_J \exp(\beta)}{\sum_{m_J=-J}^J \exp(\beta)},$$

يمكننا التمييز بين **حالتين حديتين** هنا:

► فمن أجل الحالة الحرية $\beta = \frac{g_J \mu_B B_0}{k_B T}$ أو $g_J \mu_B B_0 >> k_B T$ يكون الحقل المغناطيسي قوياً كفايةً ودرجة الحرارة منخفضةً كفايةً لبلوغ التراصف الأكثـر احتمـالـاً للعزـوم المـغـناـطـيسـيـةـ في اتجـاهـ الحـقـلـ الـخـارـجـيـ؛ وهذا يـوـافـقـ تمـغـنـطاً شـدـيدـاً وـمـشـبـعاً لـلـعـيـنـةـ المـدـرـوـسـةـ،ـ وـلـكـنـ يـصـعـبـ تـحـقـيقـ ذـلـكـ تـجـرـيـبـاًـ،ـ حـتـىـ مـنـ أـجـلـ حـقـولـ مـغـناـطـيسـيـ قـوـيـةـ وـأـخـضـعـ درـجـاتـ الحرـارـةـ المـمـكـنـ بـلـوـغـهاـ.

► تكمن الحالة الحرجة الأكثـرـ أهمـيـةـ فيـ الشـرـطـ $\beta = \frac{g_J \mu_B B_0}{k_B T} << 1$ ؛ـ حيثـ تـبـيـنـ عـنـدـهـاـ أنـ التـمـغـنـطـ يـتـنـاسـبـ تـنـاسـبـاًـ طـرـدـيـاًـ معـ الحـقـلـ المـغـناـطـيسـيـ،ـ بـحـيثـ يـمـكـنـنـاـ تـعـيـينـ طـوـاعـيـةـ مـغـناـطـيسـيـةـ،ـ χ_m ـ،ـ وـفقـ العـلـاقـةـ $\chi_m = \mu_0 \bar{B}_0 / g_J \mu_B B_0$ ـ؛ـ إـذـ تـنـاسـبـ الطـوـاعـيـةـ،ـ χ_m ـ،ـ تـنـاسـبـاًـ عـكـسـيـاًـ معـ دـرـجـةـ الـحرـارـةـ،ـ وـهـيـ نـتـيـجـةـ ثـعـرـفـ بـقـانـونـ كـيـوريـ الـآـتـيـ

$$\chi_m = \frac{C}{T}, \quad (28-8)$$

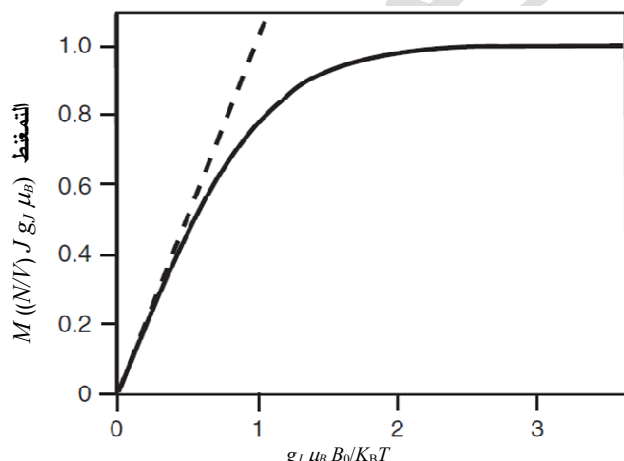
حيثـ C ـ ثـابـتـ كـيـوريـ وـيـعـطـيـ بـالـمـساـواـةـ

$$C = -\frac{\mu_0 N g_J^2 \mu_B^2 J(J+1)}{3V k_B}. \quad (29-8)$$

يـشارـ إـلـىـ حدـ قـانـونـ كـيـوريـ فـيـ الشـكـلـ (2-8)ـ بـالـخـطـ المـنـقـطـ.

يمـكـنـ حـاسـبـ ثـابـتـ كـيـوريـ عـنـدـ مـعـرـفـةـ كـلـ مـنـ J ـ وـ μ_B ـ وـ كـثـافـةـ الـذـرـاتـ المـغـناـطـيسـيـةـ.ـ إـذـ أـكـدـتـ نـتـائـجـ الـدـرـاسـةـ أـنـ الـقـيـمـ المـحـسـوـبـةـ لـهـاـ الثـابـتـ مـنـقـقـةـ جـداًـ مـعـ الـمـعـطـيـاتـ الـتـجـرـيـبـيـةـ مـنـ أـجـلـ أـجـسـامـ صـلـبـةـ تـحـويـ أـيـونـاتـ تـرـابـيـةـ نـادـرـةـ،ـ كـمـاـ كـانـ مـتـوقـعـاًـ،ـ وـلـكـنـ الـمـقـارـنـةـ كـانـتـ أـقـلـ اـنـسـجـاماًـ مـنـ أـجـلـ الـمـرـكـبـاتـ الـفـلـزـيـةـ الـاـنـتـقـالـيـةـ 3dـ.ـ لـقـدـ درـسـنـاـ هـذـهـ الـمـرـكـبـاتـ سـابـقاًـ فـالـإـلـكـتروـنـاتـ 3dـ تـسـمـهـ فـيـ التـرـابـطـ وـتـمـتـاـكـ الـحـالـاتـ سـلـوكـاًـ مـخـتـلـفـاًـ عـنـ الـمـدارـاتـ الـدـرـيـةـ الـتـيـ اـفـتـرـضـتـ عـنـ دـرـاستـاـ قـانـونـ كـيـوريـ:ـ فـيـ الـوـاقـعـ،ـ الـكـمـونـ الـذـيـ تـحـرـكـ فـيـ الـإـلـكـتروـنـاتـ 3dـ بـعـيـدـ عـنـ الـكـمـونـ الـكـرـوـيـ الـذـيـ اـفـتـرـضـ مـنـ أـجـلـ الـذـرـاتـ وـيـخـضـعـ كـثـيرـاًـ لـلـتـنـاظـرـ الـبـلـوـريـ.

فـمـنـ أـجـلـ عـنـاصـرـ مـجـمـوعـةـ الـحـدـيدـ (Fe, Co, Ni)،ـ لـوـحـظـ قـيـمـ C ـ الـتـيـ تـقـرـرـضـ أـنـ الـإـلـكـتروـنـاتـ 3dـ تـمـتـاـكـ الـمـساـواـةـ $S = J$ ـ أيـ الـاـنـدـفـاعـ الـمـغـناـطـيسـيـ الـزاـوـيـ يـكـونـ سـبـيـنـيـاًـ وـلـاـ عـلـاقـةـ لـهـ بـالـعـزـمـ الـمـغـناـطـيسـيـ الـمـدـارـيـ عـلـىـ إـلـاطـاقـ؛ـ فـالـتـمـغـنـطـ سـبـيـنـيـ صـرـفـ؛ـ يـعـرـفـ هـذـاـ الـمـفـعـولـ بـظـاهـرـةـ خـنـقـ العـزـمـ الـزاـوـيـ الـمـدـارـيـ Quenching of the Orbital Angular Momentum.ـ فـإـذـ حـصـلـ هـذـاـ الـمـفـعـولـ،ـ يـمـكـنـنـاـ القـولـ إـنـ الـتـمـغـنـطـ هـنـاـ هـوـ بـمـثـابـةـ اـصـطـفـافـ لـلـعـزـومـ السـبـيـنـيـ فقطـ.



الشكل (2-8): الطـوـاعـيـةـ الـمـغـناـطـيسـيـةـ لـجـسـمـ صـلـبـ ذـيـ عـزـومـ مـغـناـطـيسـيـةـ مـتـوـضـعـةـ.ـ يـشـارـ إـلـىـ حدـ قـانـونـ كـيـوريـ بـخـطـ مـنـقـطـ.

تبـقـىـ هـذـهـ الـبـارـامـغـنـطـيسـيـةـ ضـعـيفـةـ.ـ فـالـقـيـمـ الطـبـيعـيـةـ لـلـطـوـاعـيـةـ،ـ χ_m ـ،ـ عـنـدـ دـرـجـةـ حـرـارـةـ الغـرـفـةـ مـنـ رـتـبـةـ 10^{-3} ـ to ~ 10^{-2} ـ.ـ وـيـلـاحـظـ أـنـ χ_m ـ تـابـعـةـ لـدـرـجـةـ الـحـرـارـةـ أـيـضـاًـ،ـ خـلـاـفـاًـ لـلـطـوـاعـيـةـ الـدـايـاـمـغـنـطـيسـيـةـ الـتـيـ تـمـ مـنـاقـشـتـهاـ أـعـلاـهـ.

8-2-4-2 بaramagnetic باولي :Pauli Paramagnetism

تُبدي الإلكترونات الحرّة سلوكاً بارامغنتيسيّاً أيضاً:

- فإذا امتلك كلّ إلكترون حرّ سبيباً قيمته $\frac{1}{2}$ وعزمًا مغنتيسيًا μ_B ، فمن المرجح أن تشارك الإلكترونات الحرّة في تمغط الإشباع للجسم الصلب بقيمة تساوي لحاصل ضرب μ_B في كثافة الإلكترونات.
- يتم بلوغ هذا الإشباع عند اصطدام كل العزوم المغنتيسيّة-السبينات بشكلٍ موازٍ للحقل الخارجي (أو اصطدام السبينات بشكلٍ معاكسٍ له)⁵. غير أنّ حقيقة الأمر ليست كذلك على الإطلاق والطوعيّة البارامغنتيسيّة للإلكترونات الحرّة صغيرة جدًا فعليًا.
- يمكن فهم الطوعيّة البارامغنتيسيّة للإلكترونات الحرّة وحسابها، باستخدام المشهد الذي يوضحه **الشكل (3-8)**؛ إذ جرى تصنيف الحالات المشغولة **بالإلكترونات حرّة** (**العلاقة (6-13)**) في **الشكل (3a-8)** إلى فئتين:
- فئة بعزمٍ مغنتيسيٍّ معاكسة لحقلٍ خارجيٍّ، B_0 ، وأخرى بعزمٍ مغنتيسيٍّ موازيةٍ له؛ افترض هنا أن يكون هذا الحقل الخارجي صفرًا تقريباً.

يُظهر **الشكل (3b-8)** ماذا يحدث عند ازدياد B_0 إلى قيمة محدودة. ترفع الإلكترونات طاقتها أو تُخفيضها بمقدار $\mu_B B_0$ تبعًا لاتجاه عزومها المغنتيسي بالنسبة لاتجاه الحقل الخارجي. بما أن μ صغير جدًا، فإن هذا التغيير الطاقي يكون صغيرًا جدًا، أيًّا يكن الحقل الخارجي الذي يمكن بلوغه، إذ يبلغ هذا التغيير نحو $eV \times 10^{-5}$ ، وهو أقل بكثير من الفاصل الطاقي بين قاع العصابة الطاقيّة وطاقة فيرمي.

بما أن هذا الانزياح حدث، فإن الإلكترونات التي انتقلت إلى ما فوق طاقة فيرمي تستطيع تخفيض طاقتها بقلب سبيناتها حيث تُصبح الإلكترونات بعزمٍ مغنتيسيٍّ موازٍ للحقل الخارجي، كما يوضح **الشكل (3c-8)**. وهذا يؤدي إلى وجود الإلكترونات بعزمٍ مغنتيسيٍّ موازٍ للحقل بعدد أكبر من عدد الإلكترونات الموجودة بعزمٍ مغنتيسيٍّ معاكسٍ له، أي أن هذا الانزياح يؤدي إلى **استجابة بارامغنتيسيّة**.

لحساب χ_m ، يجب أن نحدد كمية الإلكترونات التي تقلب سبيناتها لكي تمتلك عزمًا مغنتيسيًا موازيًا للحقل الخارجي؛ تمثل هذه الإلكترونات في **الشكل (3c-8)** بالقطعة الرمادية الفاتحة حيث تبلغ مساحة كل قطعة $\frac{1}{2}g(E_F)\mu_B B_0$. ولهذا السبب، **يكون الفارق** بين الإلكترونات التي عزومها المغنتيسي موازية للحقل وتلك التي عزومها معاكسة له **مساويًّا**

$$N_{\downarrow\downarrow B_0} - N_{\downarrow\uparrow B_0} = \frac{1}{2}g(E_F)\mu_B B_0 - \left(-\frac{1}{2}g(E_F)\mu_B B_0\right) = g(E_F)\mu_B B_0, \quad (30-8)$$

حيث تشير الأسماء إما إلى أن العزوم والحقول متوازية وإما أنها متعاكسة.

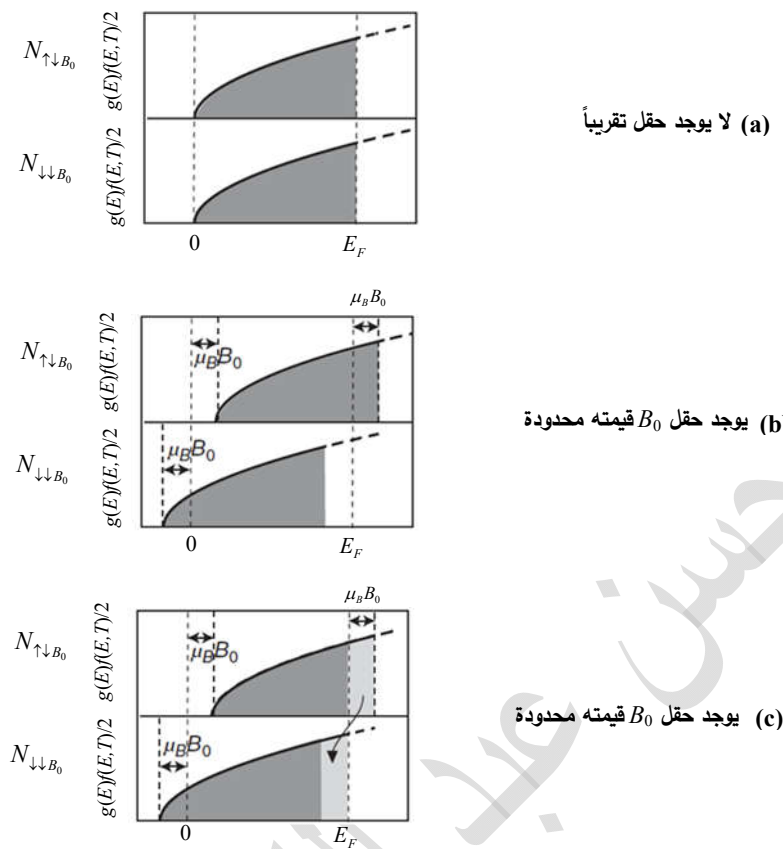
ومن ثم يبلغ التمغط المحسّن

$$M = \frac{1}{V} \left(N_{\downarrow\downarrow B_0} - N_{\downarrow\uparrow B_0} \right) \mu_B = \frac{1}{V} g(E_F) \mu_B^2 B_0, \quad (31-8)$$

ومن ثم تُصبح علاقة الطوعيّة المغنتيسيّة، χ_m ، استنادًا للعلاقة $\bar{M} = \chi_m \bar{B}_0$ ، من **الشكل**

$$\boxed{\chi_m = \frac{1}{V} \mu_0 \mu_B^2 g(E_F)}, \quad (32-8)$$

⁵ نتحدث هنا ولاحقًا بحرية عن سبينات متراضفة بشكلٍ موازٍ أو متسايرٍ لحقولٍ خارجيٍّ أو بالنسبة لبعضها البعض ولكنها بالطبع ليست كذلك؛ فقط المركبة- χ للسبينين بمقورها الاصطدام مع الحقول. فالسبين الفعلي يدور حول اتجاه الحقول.



الشكل (3-8): (a) كثافة الحالات المشغولة من أجل الإلكترونات حرية في الدرجة K 0 تنقسم إلى الإلكترونات تمتلك عزوماً مغناطيسية معاكسة $(N_{\downarrow \downarrow B_0})$ أو موازية $(N_{\uparrow \downarrow B_0})$ لحقل خارجي، ولكن الحقل معده تقريباً. (b) عند تطبيق B_0 ليس صغيراً، طاقة الإلكترونات تزداد أو تخفض بمقدار $\mu_B B_0$ ، تبعاً لاتجاه العزم المغناطيسية. (c) بمقدار الإلكترونات بعزم مغناطيسي معاكس للحقل بلوغ حالة طاقة منخفضة عن طريق قلب سبيبناتها. بهذه الطريقة، يتم الحصول على حالة مستقرة بطاقة فرمي ثابتة. **لاحظ أن مقياس الارتفاع الطaci الذي تحرض تحت تأثير B_0 لم يحدد بالرسم.**

والتي قيمتها صغيرة، ومن نفس رتبة الطواقيات الدایامغناطيسية. يصعب فهم الطواقيات الصغيرة من وجهة نظر شبه تقليدية؛ كما في حالة السعة الحرارية الإلكترونية، هذا الفهم مرتبط بإحصاء فرمي - ديراك. فالحقل اللازم لصف كل السبيبنات لا يكفي أن يتحقق الشرط $\mu_B B_0 >> k_B T$ فقط، بل يجب أن تتحقق المتراجحة $\mu_B B_0 > E_F$ ، أي يجب أن يكون مقدار التغير الطaci الذي تتعرض له الإلكترونات نتيجة تطبيق حقل خارجي أكبر من طاقة فرمي أيضاً، وهو مقدار كبير جداً هنا. في حقیقة الأمر، تختلف بارامغناطيسية باولي تماماً عن بارامغناطيسية كیوري:

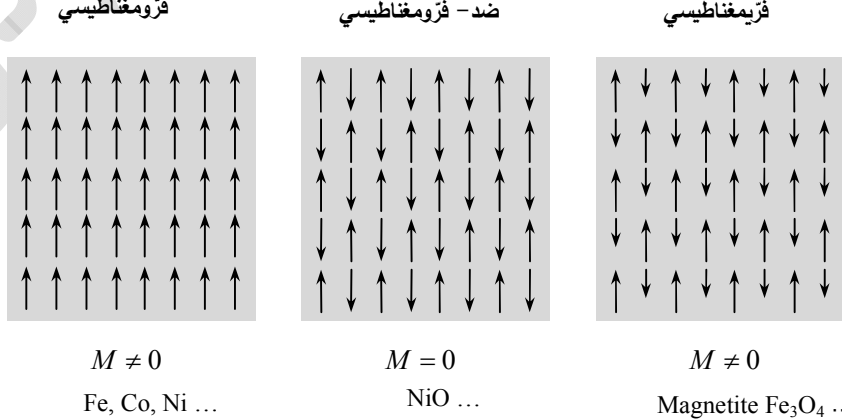
- في بارامغناطيسية كیوري، يمكن بلوغ التمغنت القوي فعلياً، لأن ما تحتاجه الطاقة المغناطيسية، فقط أن تكون أعلى بكثير من الطاقة الحرارية.
- أمّا من أجل بارامغناطيسية باولي، فإنها بحاجة لأن تتجاوز طاقة فرمي، وهذا أمر غير ممكن.

8-5 الانتظام المغناطيسي :Magnetic Ordering

درسنا إلى الآن السلوك الدايمغنتيسي والبارامغنتيسي للأجسام الصلبة، وهم لا يؤديان إلى مفاعيل مغنتيسية بقيمة ملحوظة. سدرس في هذه الفقرة ظاهرة أكثر فعاليةً بكثير من سابقاتها - ظاهرة انتظام مغنتيسي بعيد - المدى من دون تطبيق أي حقلٍ؛ يصعب جداً فهم هذه الظاهرة ولذلك لن نفعل ذلك هنا، ونكتفي بالتركيز على بعض الأفكار الرئيسية التي تقف خلف آلية الانتظام المغنتيسي.

يوضح الشكل (4-8) أنواعاً مختلفةً للانتظام المغناطيسي:

- ❖ الانتظام الممكن أن يكون ملوفاً لنا أكثر من غيره هو من نوع **الفرومغنتيسي Ferro-magnetic Type** الذي يُرصد في مجموعة الحديد (Fe, Co, Ni). كما اكتشف أيضاً من أجل العناصر الترابية النادرة؛ الغادولينيوم **Dysprosium** والديسبروسيوم **Gadolinium**
 - ❖ ينشأ الانتظام الفرومغناطيسي من التراصف المتوازي للعزوم المغنتيسي في البَلْوَرَة؛ فهو يؤدي إلى تمعنٍ يمكن رصده جهرياً.
 - ❖ ثمة حالة مختلفة أخرى هي الانتظام ضد - **الفرومغنتيسي Anti-ferromagnetic** الذي ينطوي أيضاً على انتظامٍ بعيد المدى لعزومٍ مغنتيسي، ولكن اتجاهات العزوم في الموضع المتجاورة متعاكسة، بحيث لا يلاحظ أي تمعنٍ محصل (العزوم المغنتيسي الكلّي يساوي الصفر).
 - ❖ هناك الكثير من عوازل **أكسيد الفلزات الانتقالية**، تُبدي انتظاماً ضد - فرومغنتيسي.
 - ❖ وثمة مزيج من الحالتين هو الانتظام **الفريمغنتيسي ferri-magnetic**، حيث يوجد في وحدة خلية الواحدة انتظام ضد - فرمغنتيسي بين العزوم بأبعاد مختلفة (أو قيم مختلفة)، ولكن يوجد انتظام فرمغنتيسي بين خلايا الواحدة، بحيث يبقى تمعنٍ محصل (أي تمعنٍ مختلف عن الصفر).
 - ❖ يُعد المغنتيت **Magnetite** (Fe_3O_4) مثلاً على مادة، تُبدي انتظاماً فرمغنتيسيًا. كيف يمكننا أن نعرف بأنه توجد ظاهرة؛ كالفرومغنتيسية - المضادة، عندما لا تُنتج حقلًا ماكروسโคبياً ملحوظاً؟. جواب يمكن في إمكانية تحديد الانتظام المغنتيسي **الميكروسكوبى**، كما وجدنا في **بحث الانعراج**، من انعراج تترنونات؛



الشكل (4-8): أنواع الانتظام المغفطيسي. تدل الأسهم إلى اتجاه حجم العزوم المغفطيسي المتوضعة.

→ ولذلك هي حساسة للبنية المغناطيسية، أي تستجيب لها.

→ والفارق بين البنية الهندسية والبنية المغناطيسية يظهر في البلورات ضد- الفرومغناطيسية، لأن وحدة الخلية المغناطيسية أكبر من وحدة الخلية الهندسية.

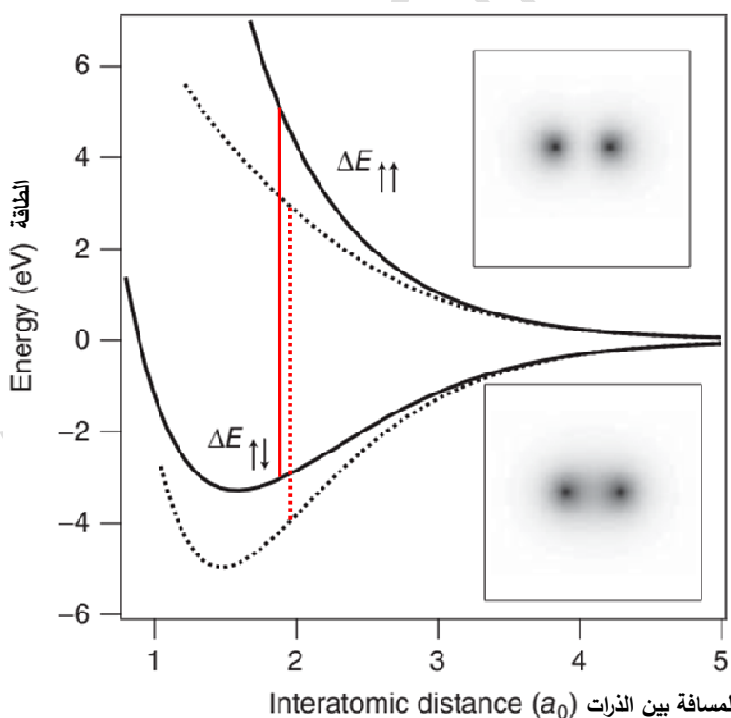
1-5-8 الانتظام المغناطيسي والتآثر التبادلي :Magnetic Ordering and the Exchange Interaction

سنحاول الآن أن نفهم، ولو كييفياً، من أين ينشأ الانتظام المغناطيسي. من الواضح أنه مرتبط ببعض التأثر بين العزوم المغناطيسية. وهذا التأثر هو الذي يحافظ على العزوم مترافقاً بصرف النظر عن مفعول الأنترودوبية التخريبي (درجة الحرارة). إذ بمعرفة أن الانتظام الفرومغناطيسي موجود حتى في درجات حرارة أعلى بكثير من درجة حرارة الغرفة، نرى أن الطاقات اللازمة لتخريبه تكون على الأقل من $k_B T$ عند درجة حرارة الغرفة، أي من رتبة 25 meV.

قبل أن نصف الشيء الذي يسبب الانتظام، ليس سيئاً أن نشير إلى الآلية التي لا تُشبه والمتمثلة **بتأثير المباشر لثنائيات- القطب** (ثنائي قطب- ثنائي قطب) **للعزوم المغناطيسية المتوضعة**.

يمكن الالتباس الشائع في أن "المغناط الصغيرة" في الجسم الصلب **تنظم نفسها** بشكل مشابه لترافق مصفوفة أbers بوصلة Compass Needles بفضل تأثيرها المغناطيسي، إلا أن هذه المغناط في حقيقة الأمر لا تفعل ذلك، لأن شدة التأثير بين ثنائيات- القطب المغناطيسية ضعيفة جداً **والفارق الطوري** الموافق للترافق المتوازي والمعاكسي لثنائي- قطب مغناطيسين عند المسافات الذريّة العاديّة يوافق درجات حرارة من رتبة 1K.

إذن، إذا لم يكن التأثير المغناطيسي السبب الكامن وراء الترافق، فما **السبب** إذن؟. التأثير المسؤول عن ذلك هو التأثير



الشكل (2-2): التغيرات الطاقية $E_{\uparrow\uparrow}$ و $E_{\downarrow\downarrow}$ لتشكيل جزيء الهيدروجين. الصور الجانبية توافق الكثافة الاحتمالية للإلكترون.

ال**التبادل** *Exchange Interaction* الناتج عن الإتجاهات النسبية للسبعين، وهو نوع من الطاقة جدير بالاهتمام، ينتج

من اتحاد تأثر كولون ومبأباولي أي من ضرورة أن تمتلك الفرميونات توابع موجية عكسية التناظر *Anti-symmetric*. لقد تعرضنا للتأثير التبادلي في مقرر **فيزياء الحالة الصلبة (1)** لدى مناقشتنا لجزيء الهيدروجين حيث وجدنا أن الفارق بين الحالات المفردة والحالات الثلاثية أكبر بنحو 6^6 أي:

$$E_{\uparrow\uparrow} - E_{\downarrow\downarrow} = -2X \quad ; \quad \frac{E_{\uparrow\uparrow} - E_{\downarrow\downarrow}}{X} = -2. \quad (33-8)$$

حيث $E_{\uparrow\uparrow}$ الطاقة الموافقة للحالة الكمومية الثلاثية (غير الرابطة) و $E_{\downarrow\downarrow}$ الطاقة الموافقة للحالة الكمومية المفردة (الرابطة);

ثم إن طاقة التبادل X من أجل جزء الهيدروجين سالبة دوماً وتعني أن الحالة الثلاثية تمتلك طاقة أعلى من طاقة الحالة المفردة، ولذلك فإن الانتظام الموافق للحالة الأرضية انتظام "ضد - فرومغنتيسي".

الفشل (2-2) يظهر أن **طاقة التبادل X** (أي الفاصل الطaci بين الحالتين المفردة والثلاثية) **ليست صغيرة على الإطلاق**; إذ حتى من أجل المسافات الكبيرة بين ذرتى الهيدروجين **تبلغ جزءاً منها من الإلكترون فولط، وفعلياً هذا هو العنصر الأساس المسؤول عن الترابط في الأحجام الصلبة**: فعزوم ثانيات - القطب المغنتيسي تنتظم بفضل التأثر التبادلي الذي يدعم الانتظام المتوازي (من أجل X موجة) أو الانتظام المتعاكس (من أجل X سالبة).

❖ طاقة التبادل **هنا أقل منها عادةً** في جزء الهيدروجين، ولكنها تبقى من رتبة 100 meV من أجل العناصر الفرمغنتيسية. غير أنه يصعب التنبؤ كيفياً بقيمة طاقة التبادل X ، وحتى بإشارتها، كما توضح الاعتبارات الآتية:

خلافاً لما نراه في جزء الهيدروجين، يمكن توقع طاقة تبادل X موجة من أجل جملة متعددة الإلكترون على أساس عام جداً. والفضل يعود لمبدأ باولي:

► فمن أجل الإلكترونين، يتلاشى التابع الموجي للحالة الثلاثية عند امتلاك **الإلكترونين** الإحداثيات المكانية ذاتها، بمعنى أنهما لن يكونا في نفس المكان على الإطلاق. وهذا يُخفض **تتافرهم** الكولوني، مما يؤدي إلى انخفاض طaci للحالة الثلاثية بالمقارنة مع الحالة الفردية ومن ثم إلى طاقة تبادل موجة.

► وأكثر مثال معروف من أجل ذلك، هو ذرة الهليوم التي من أجلها الحالات الثلاثية، وجدت لتمتلك طاقة أحضر من طاقة الحالات الفردية الموافقة.

► والفكرة ذاتها تُعد أساساً أيضاً لقاعدة هوند الأولى حول أن الحالات الإلكترونية يجب أن تتشغل بحيث تتحقق أعلى قيمة ممكنة لـ S . لقد ناقشنا المثال Cl^{3+} الذي يمتلك طبقة d ممتنئة جزئياً بثلاث إلكترونات؛

→ تقع الإلكترونات في طبقات ثانوية مختلفة لبلوغ أعلى قيمة ممكنة لـ S .

→ والتي تعني أيضاً أن الإلكترونات يبتعد بعضها عن **بعض** وأن الطاقة الكامنة الكلية تنخفض.

► يُطبق المبدأ ذاته على الإلكترونات الحرة في فلز (بلورة معدنية):

→ **الإلكترونات** التي لها اتجاه السبين ذاته **لن تقع** في نفس المكان.

⁶ في مراجع المغنتيسية، يُشار إلى طاقة التبادل عادةً بالرمز J عوضاً عن X الذي اعتمدناه هنا، كما في نموذج هتلر - لندن، ولعدم الخلط بينها وبين الاندفاع الزاوي الكلي. فعلياً، تحديد هوية X في نموذج هتلر - لندن بالفارق الطaci بين $E_{\uparrow\uparrow}$ و $E_{\downarrow\downarrow}$ يُعد مجرد تصحيح تقريبي، ولكننا نُهمل ذلك هنا.

→ فإذا توافرت أكثرية من الإلكترونات بسببن علوى Spin-up، فإن "شعور" كل إلكترون من هذه الإلكترونات بوجود إلكترونات أخرى يقل وينجذب بشدة أكبر إلى أيونات الشبكة البلورية، وهذا يؤدي إلى ربح في الطاقة.

غير أن الحالة هنا ليست بسيطة لاعتبارات طاقية أخرى تطبق، حتى وإن أهمنا مفعول الانتظام عند درجة حرارة محدودة. فمن أجل غاز إلكتروني حر، فإن استقطاباً سبيانياً كاملاً سيُخفّض التناقض الكولوني بين الإلكترونات، ولكن سيرفع الطاقة الحرارية لها بكمية كبيرة جداً تكون من رتبة طاقة فرمي، كما رأينا في مناقشتنا لبارامغنتيسية باولي. في الواقع، من أجل **الفلزات شبه الخالية من الإلكترونات** لا يُرصد أي تمعنط تلقائي على الإطلاق.

سنشرح الآن، كيف يؤدي التأثير التبادلي إلى حالات منتظمة فرومغنتيسياً، حتى بدون حقل خارجي؛

فهناك طريقتان تصفان ذلك وتكملان بعضهما بعضاً:

❖ فاماً أن نستعرض جملة عزوم مغنتيسية متوضعة يتآثر بعضها مع بعض عن طريق التأثير التبادلي،

❖ أو يمكننا أن نتفحص كيف تغير البنية العصابية الإلكترونية من أجل إلكترونات بلوخ الممتدة تماماً عندما نجعل اتجاهها محدداً للعزوم المغنتسي مفضلاً طاقياً أكثر من اتجاه آخر.

يعمل التقريب الأول جيداً من أجل وصف المغنتيسية للفلزات الترابية النادرة بفضل الإلكترونات 4f المتوضعة جداً فعلياً والتوصيف الآخر صحيح من أجل وصف المغنتيسية في الفلزات الانتقالية 3d.

2-5-8 الانتظام المغنتسي من أجل سبيبنات متوضعة :Magnetic Ordering for Localized Spins

صاغ هايزنبرغ W. Heisenberg توصيف الميكانيك الكمومي للت Magnet من أجل جملة عزوم مغنتيسية متوضعة تتأثر عن طريق الطاقة التبادلية.

▪ بغرض التبسيط نفرض أن العزم المغنتسي المداري للحالات قيد الدراسة **مسحوقاً** وأننا نتعامل مع السبيبنات فقط.

▪ **تأسست علاقة هايزنبرغ** على نموذج هيتلر - لندن من أجل جزيء الهيدروجين، حيث تتآلف طاقة الجزيء، $E = 2E_0 + C \pm X$ ، من ثلاثة مساهمات وآخر هذه المساهمات يتعلق **فقط** بالاتجاه النسبي لسببنات الإلكترونات. **وهذه نقطة غاية في الأهمية** طالما أن السبيبن لا يظهر في الحساب بشكلٍ صريح.

▪ فالمساهمة الأخيرة في الطاقة **تعد** الجزء الوحيد المناسب لدراسة مغنتيسية (تمغنط) المادة؛ **ولذلك، افترض هايزنبرغ** أنه يمكن دراسة المغنتيسية بهاملتون يتضمن هذه **المساهمة السبيبنية فقط**. فمن أجل سبيبنين، يساوي هاملتون هايزنبرغ

$$H = -2X \vec{S}_1 \cdot \vec{S}_2 . \quad (34-8)$$

▪ **تمثل الكمية** \vec{S} **هذا المؤثرات السبيبنية**. ومن أجل مناقشتنا الراهنة من المناسب **النظر إليها** على أنها مجرد اتجاهات سبيبنية **موقع محدد**.

▪ تم إدخال العامل 2 بغرض الحصول على فرق طaci مقداره $2X$ بين الحالات الفردية والحالات الثلاثية، كما في العلاقة (33-8) من **أجل** جزيء الهيدروجين.

▪ سنحاول الآن فهم جوهر الانتظام الفرومغنتسي التلقائي تأسياً على هاملتون هايزنبرغ: **فبعد تعميم الدراسة الأخيرة على الجسم الصلب**، فإن المؤثر السبيبني \vec{S} لكل موقعٍ من مواقع الشبكة البلورية سيتأثر مع السبيبن

كل موقع شبكة بلورية آخر، فإذا أضفنا إلى الدراسة احتمال وجود حقل مغناطيسي خارجي، فإن الهاملتون النهائي يأخذ الشكل الآتي:

$$H = - \sum_{i \neq j} X_{ij} \vec{S}_i \cdot \vec{S}_j + g_e \mu_B \vec{B}_0 \cdot \sum_i \vec{S}_i, \quad (35-8)$$

حيث يشمل الجمع \sum_i كل الذرات في الجسم الصلب و X_{ij} التأثير التبادلي بين السبيبنات لموقع الشبكة البلورية i و j . يمثل الحد الثاني تأثير الحقل المغناطيسي الخارجي - إن وجد - على كل السبيبنات.

- يمكن تبسيط المعادلة (35-8)، لأن التأثير التبادلي يتلاصق بسرعة كبيرة من أجل المسافات البعيدة. ولذلك، افتراض أن سبين موقع ما، i مثلاً، يتاثر فقط مع سبيبنات أقرب الذرات المجاورة **يُعد تقريباً جيداً**.

- ويمكننا أيضاً أن نعد X_{ij} ذاته من أجل كل هذه المجاولات، ولذلك يمكننا تسميته ببساطة X .
- وعندما يمكننا الحصول على العلاقة الآتية:

$$H = -X \sum_i \sum_{nn} \vec{S}_i \cdot \vec{S}_{nn} + g_e \mu_B \vec{B}_0 \cdot \sum_i \vec{S}_i, \quad (36-8)$$

حيث يشمل المجموع الثاني المجاولات الأقرب nn لكل ذرة. يصعب تماماً إيجاد شكل حلول معادلة هاملتون (36-8)، ولكن يسهل تخمين كيف يمكن أن تبدو الحالة الأرضية: فمن أجل طاقة تبادل موجبة ($X > 0$)، يجب أن تكون الحالة ذات الطاقة الأخفض نفسها، أي الحالة التي من أجلها تكون كل السبيبنات متسبةً، توازي بعضها بعضاً وتعاكس الحقل الخارجي (بحيث أن عزمها المغناطيسي يوازي هذا الحقل). سبيبن الآن أن العلاقة (36-8) تسمح بتمثيل تلقائي حتى بدون حقل خارجي:

يمكن العائق الأكبر أمام فعل ذلك في **الحد الأول من العلاقة (36-8) الذي يحوي** ضمنياً التأثير الموضعي بين سبيبنات المواجهة الأقرب. يمكن **تجاوز** ذلك باستخدام ما يسمى **تقريب الحقل الوسطي Mean Field Approximation** الذي تستبدل فيه كل سبيبنات المواجهة باتجاه سبيبني متوسط في الجسم الصلب، بحيث أن

$$H = \sum_i \vec{S}_i \cdot \left(- \sum_{nn} X \langle \vec{S} \rangle + g_e \mu_B \vec{B}_0 \right) = \sum_i \vec{S}_i \cdot \left(-n_{nn} X \langle \vec{S} \rangle + g_e \mu_B \vec{B}_0 \right), \quad (37-8)$$

حيث n_{nn} عدد المجاولات الأقرب.

يمكننا أن نستغل الآن **ارتباط $\langle \vec{S} \rangle$ المباشر** بالتمغنت الماكروسكوبية الذي ندرسه تبعاً للعلاقتين (4-8)، $\bar{M} = \bar{\mu} N/V$ ، و $\bar{\mu} = -g_e \mu_B \vec{S}$ ،

$$\bar{M} = -g_e \mu_B \langle \vec{S} \rangle \frac{N}{V} \Rightarrow \langle \vec{S} \rangle = -\frac{\bar{M} V}{g_e \mu_B N}, \quad (38-8)$$

حيث حصلنا على علاقة $\langle \vec{S} \rangle$ ، ثم نعوض في العلاقة (37-8) فينتج أن

$$H = \sum_i \vec{S}_i \cdot \left(\frac{n_{nn} X V}{g_e \mu_B N} \bar{M} + g_e \mu_B \vec{B}_0 \right) = g_e \mu_B \sum_i \vec{S}_i \cdot \left(\frac{n_{nn} X V}{g_e^2 \mu_B^2 N} \bar{M} + \vec{B}_0 \right),$$

ومن ثم

$$H = g_e \mu_B \sum_i \vec{S}_i \cdot (\bar{B}_W + \vec{B}_0), \quad (39-8)$$

حيث

$$\bar{B}_W = \bar{M} \frac{n_{nn} X V}{g_e^2 \mu_B^2 N}. \quad (40-8)$$

شكلياً، تصف العلاقة (39-8) جملة سينيات متوضعة ومستقلة، تتعرّض لمجموع حقلين مغناطيسيين؛

► الحقل الأول \bar{B}_W ناتج عن التمغnet \bar{M} ، الذي

يؤثر في السينيات الفردية \bar{S}_i

► والثاني الحقل الخارجي، \bar{B}_0 .

► يسمى \bar{B}_W حقل وايس Weiss Field بعد

معالجة غير عادية أجراها وايس P. Weiss في

عام 1907 أي قبل مجيء ميكانيك الكم. نؤكد

هنا أن \bar{B}_W ليس حقل مغناطيسيًا حقيقياً ناتجاً

من تمغnet العينة، إلا أنه مجرد طريقة ذكية

للتعبير عن أهمية التأثير التبادلي في شيء ما

يمكن معاملته بشكل مشابه لمعاملة حقل

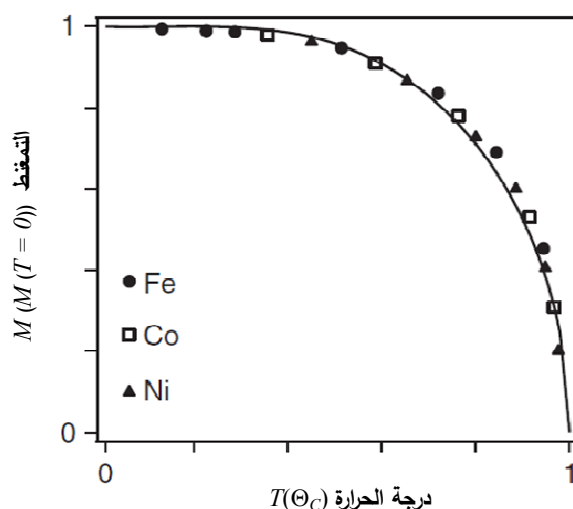
مغناطيسي.

► العنصر الحاسم في العلاقة (40-8) هو الطاقة

التبادلية X ، التي تُعد ضرورية للحصول على

حقل وايس، \bar{B}_W ، محدود عند توافر مغنة.

إن الحال الموصوفة بالعلاقة (39-8)



الشكل (5-8): التابعية الحرارية لتمغnet كل من Fe و Co و Ni من تحت درجة حرارة كيوري Θ_C . يمثل الخط المنحنى القيم المتوقعة تبعاً للمعادلة (42-8) من أجل جملة سين 1/2. المعطيات المتوافرة على الخط مأخوذة من تيلور (1931).

مطابقة لحالات التي عالجناها في بارامغناطيسيّة كيوري من حيث أن العزوم المغناطيسيّة المتوضّعة تتعرّض لحقل مغناطيسيّ $\bar{B}_0 + \bar{B}_W$. يمكننا استغلال ذلك في حساب التابعية الحرارية لتمغnet بنفس الطريقة التي تم اتباعها في نموذج كيوري. يمكن الفارق الأساسي بالنسبة لنموذج كيوري في أن جزءاً من الحقل المغناطيسي، \bar{B}_W ، ليس حقل مغناطيسيّاً خارجياً، ولكن حقل وايس الظاهر هنا ينبع بفضل التمغnet؛ إذا كان \bar{B}_W كبيراً كفايةً فـثمة احتمال مهم جداً يؤكد على وجود تمغnet من دون أي حقل خارجي، \bar{B}_0 .

لنفرض أن $B_0 = 0$ ونحسب التابعية الحرارية لتمغnet الصرف بوجود حقل وايس باستخدام العلاقة (26-8) من أجل جملة حالتين حيث **تدخل** الرمز $x = g_e |m_s| \mu_B B_W / k_B T$ في الحساب. إذا درسنا السينيات فقط فيمكننا أيضاً أخذ التقريب $g_e |m_s| \approx 1$ بالحساب ومن ثم $\mu_B B_W / k_B T \approx 1$ ونحصل على العلاقة الآتية:

$$M(T) = \frac{\mu_B N}{V} \frac{e^x - e^{-x}}{e^x + e^{-x}} = M(0) \tanh(x), \quad (41-8)$$

حيث $M(0) = \mu_B N / V$ التمغnet الأكثـر احتمـالـاً الذي يمكن بلوغـه عند درجة الصفر المطلق، 0 K. تسمـح لنا المعادلة (41-8) بدراسة التمغnet كتابع لدرجة الحرارة ولكن بوجود صعوبة متمثلة في أن x في الطرف الأيمن منها يتعلـق أيضـاً بهذا التمغnet، كما يظهر في حقل وايس (40-8). ويبـدو ذلك واضحـاً أكثر عند إعادة كتابة المعادلة (41-8) بالشكل الآتـي:

$$\frac{M(T)}{M(0)} = \tanh\left(\frac{M(0) \Theta_C}{T}\right), \quad (42-8)$$

حيث أدخلنا في العلاقة الأخيرة ما يسمى بدرجة حرارة كيوري Θ_C المعرفة بالمساواة

$$\Theta_C = \frac{n_{nm} X}{g_e^2 k_B} \quad (43-8)$$

فمن أجل درجة حرارة T معطاة يجب أن نبحث عن $(T) M$ بحيث تتحقق المعادلة (42-8): من الواضح أن ذلك ممكناً دوماً من أجل عينة غير مغناطيسية تتصف بالمساواة $M(T) = 0$ ؛ غير أنه يبدو أن حلولاً غير تافهة موجودة أيضاً ما دامت درجة الحرارة T أقل من Θ_C . يمكن إيجاد هذه الحلول عددياً **والشكل** (5-8) يوضحها. يبدو أن التابعية الحرارية للتمغناطيسية في هذا النموذج البسيط توافق النتيجة المقيدة تماماً من أجل الفلزات الانتقالية 3d الفرومغناطيسية؛ مثل Fe و CO، و Ni، على الرغم من أن الإلكترونات التكافؤ التي تؤدي إلى تمغناطيسية في هذه العناصر ليست متوضعة جزئياً. **تظهر** **معطيات هذه العناصر** في النموذج المدرس في **الشكل** (5-8).

يمكننا تقدير قيمة حقل وايس، \bar{B}_w ، من درجة حرارة كيوري المقيدة. وجد أن \bar{B}_w كبير جداً، من رتبة مئات حتى آلاف التسلا، أقوى بكثير من أي حقل يمكن توليده في المخبر؛ وهذا ما يفسر لماذا بمقدور حقل وايس الاحتفاظ بتمغناطيسية في العينة ولكن يجب التأكيد مرة أخرى أن حقل وايس لا يُعد حثلاً مغناطيسياً عاديًّا. فهو ناتج من مجموع التمغناطيسية والتاثير التبادلي كما يبدو واضحًا في المعادلة (40-8).

يتلاشى التمغناط التلقائي فوق درجة حرارة كيوري، وهذا يفترض نقصاً في الانتظام بعيد-المدى، ولكن العزوم المغناطيسية بالطبع تبقى متوفرة. ولذلك، يمكننا أن نتوقع وجود سلوك بارامغناطيسى. وللارتفاع بذلك، يمكننا القيام بالإجراء الذي قمنا به من أجل بارامغناطيسية كيوري تماماً وحساب التابعية الحرارية في المعادلة (41-8) في حدود درجة الحرارة المرتفعة حيث نستبدل تابع الظل القطعي للمتحول بالمت حول ذاته. باستخدام العلاقة (5-8) أيضاً، يمكننا الحصول على ما يسمى **قانون كيوري - وايس Curie-Weiss Law** من أجل الطوعية:

$$\chi_m = \frac{C}{T - \Theta_C}. \quad (44-8)$$

نلاحظ أن هذا القانون يشبه كثيراً قانون كيوري (28-8)، باستثناء أن مبدأ الحساب منزاح بمقدار درجة حرارة كيوري. ثم إن استنتاج قانون وايس - كيوري وثبتت كيوري C يخضع أيضاً **للمسألة 6-8**. يفترض هذا القانون أن الطوعية تتلاشى عند اقترابنا من درجة حرارة كيوري، ولهذا الكلام معنى: فعند الدخول في نظام الفرومغناطيسية، بمقدور حقل خارجي ليس كبيراً جداً أن يسبب استجابةً قويةً جداً. غير أنه يجدر بالذكر أن قانون كيوري - وايس يُعد حداً لدرجة الحرارة المرتفعة ولذلك ليس بالضرورة أن يصف سلوك التمغناط بجوار درجة حرارة كيوري بدقة.

بالنتيجة توصيف الفرومغناطيسية بنموذج هايزنبرغ بهذه الطريقة يُعد مقبولاً.

- فهو يفسّر وجود التمغناط التلقائي أي التابعية الحرارية لشدة التمغناط تحت درجة حرارة كيوري والبارامغناطيسية فوق درجة حرارة كيوري.

- لقد درسنا هذا التمغناط من أجل جملة السبين $\frac{1}{2}$ بحالتين فقط؛

- غير أنه يمكن تعميم هذه الدراسة على أي عزم مغناطيسي مطلوب. ولكن يجدر بالذكر أن النموذج يفترض عزوماً مغناطيسية في موقع الشبكة البلورية.

- ولذلك، من المرجح، أن يعمل أفضل ما يمكن من أجل الحالات التي تقترب من هذه المثالية.

- المعادن الترابية النادرة Gd و Dy ذات الإلكترونات 4f ذات قربة جداً من هذه المثالية ولذلك توصف جيداً بنموذج هايزنبرغ.

- ومن أجل المعادن الانتقالية Fe، و CO، و Ni، التي ينتج التمغناطيسية فيها من الإلكترونات 3d الأكثرو توضعاً، يؤدي توصيف الفرومغناطيسية بنموذج هايزنبرغ إلى بعض المشاكل، بصرف النظر عن التوافق الجيد ظاهرياً، كما هو في الشكل (5-8).

بمقدورنا حساب الخصائص المغناطيسية في نموذج هايزنبرغ فقط، بفضل تقرير الحقل الوسطي، أي لأننا استبدلنا السبيبنات، $\langle \bar{S}_n \rangle$ ، في المجاورات الأقرب لذرة محددة n بالقيمة المتوسطة، $\langle \bar{S} \rangle$ ، على كامل العينة في المعادلة (37-8).

- وهذا ليس تقريباً جيداً جداً، **لسيما** بجوار Θ_C . لنتصور ماذا يحدث عند تبريد العينة بدءاً من فوق Θ_C بقليل:
- حالما يتم بلوغ درجة حرارة كيوري Θ_C ستتجدد سبيبنات محددة نفسها محااطةً بسببيبنات لها الاتجاه ذاته ثم أن هذا التمغناط الموضعي سينتشر Spreads out بسرعة.

- ولذلك، تكون الأهمية للوسط السبيبني الموضعي المحيط بذرة وليس للسبين الوسطي الإجمالي.
- لقد وجد عملياً، أن نموذج هايزنبرغ ذي تقرير الحقل الوسطي لا يقدم توصيفاً دقيقاً جداً للتابعية الحرارية للتمغناط تحت الدرجة بالجوار **المباشر** لـ Θ_C .

يمكن أيضاً استعمال نموذج هايزنبرغ لسببيبنات متوضعة لوصف مواد ضد - فرومغناطيسية حيث يحقق نتائج جيدة جداً حتى من أجل مواد تحوي الإلكترونات 3d؛ وسبب ذلك يكمن في أن مواداً ضد - فرومغناطيسية عادية هي أكسايد **تفعل** ذرات الأكسجين **فيها فعل** "فواصل أو مباعدات" بين الذرات المغناطيسية، ولذلك تبقى الإلكترونات 3d متوضعة بشكلٍ معقولٍ.

► في الواقع، المدارات 3d متوضعة جداً لدرجة أنه لا يوجد تأثير تبادلي مباشر بين هذه الإلكترونات في الذرات المختلفة، والتبادل المؤدي للتمغناط يجب "توسيطه" فيما بين ذرات الأكسجين وهو ظاهرة تدرج تحت مسمى التبادل الفائق Super-exchange.

► إن النتائج المتوقعة من أجل المواد ضد - فرمغناطيسية مشابهة تماماً لتلك المترقبة من أجل الفرمغناطيسية.
و^{الانتظام} ضد - فرمغناطيسى يمكن أيضاً فقط تحت درجة حرارة محددة، تسمى درجة حرارة نيل Néel .Temperature

3-5-8 الانتظام المغناطيسي من وجهة نظر عصابات الطاقة Magnetic Ordering in a Band Picture

لقد افترضنا أنه يمكن حساب التمغناط الأعظمي الممكن لعينة فرمغناطيسية من كثافة العزوم المغناطيسية **وقيتها**.

فمثلاً إذا كان لدينا عزوم مغناطيسية سبيبنية فقط فإن التمغناط الأكثر احتمالاً سيكون مساوياً $M(0) \approx \frac{\mu_B N}{V}$ ويمكن بلوغه في **درجة الصفر كلفن**، 0 K.

أما إذا كان لدينا **بدلاً من ذلك**، العزم الزاوي للأيونات، J ، فنحصل على مقدار التمغناط $.M(0) \approx \frac{\mu_B g J N}{V}$

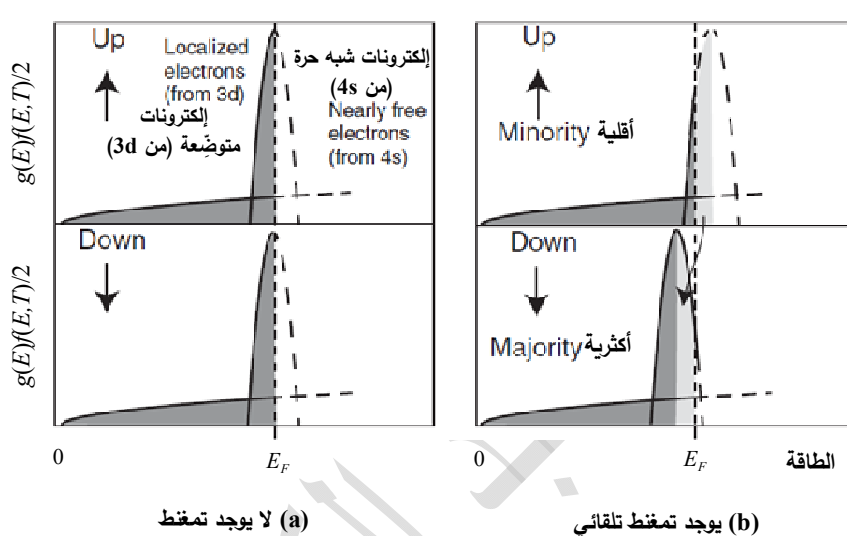
▪ التمغناطات القصوى المقيسة من أجل الفلزات- 4f لا يختلف كثيراً عما هو متوقع، ولكن **التوافق** من أجل الفلزات الانتقالية- 3d، **رديء**⁷ جداً؛ إذ يمكن أن يعود عدم التوافق هذا لعدة أسباب:

⁷ نلاحظ أن مثل هذه المسائل لا تظهر في الشكل (5-8)، لأن التمغناط لم ينظم على القيمة التجريبية $L(0)$ $M(0)$. عند رسم المعطيات بالنسبة لقيمة $M(0)$ المحسوبة، يكون التوافق أقل من مقبول بكثير.

كأن يكون العزم المغنتيسي المداري مسحوقاً (جزئياً). ولكن يبدو أن توصيف العزوم المغنتيسي ليس صحيحاً، طالما أن الحالات-3d ليست متوضعة، **ومن ثم** تتصرف بسلوك عصابات الطاقة.

يمكن لعصابات الطاقة أن تكون مماثلة **جزئياً فقط**، وهذا ما قد يفسر عدم مساهمة كل الإلكترونات في التمagnetization. ويقتصر الأمر فقط على جزء منها. يعود توصيف التمagnetization من أجل الحالات الإلكترونية التي تتصرف بسلوك عصابات الطاقة لكل من ستونر E.P.Wohlfarth وولفارث E.C.Stoner.

يوضح الشكل (6a-8) شكلاً لكثافة الحالات في فلز انتقالي كـ Fe، أو CO، أو Ni:



الشكل (6-8): (a) كثافة الحالات المشغولة بالإلكترونات في فلز انتقالي 3d بسبعينات باتجاهين ولكن من دون وجود تمقطط محظوظ. (b) تمقطط تلقائي للإلكترونات d، يحدث عندما يُغير الكثير من الإلكترونات اتجاه سبيبناته (في حالة الراهنة من الاتجاه \uparrow إلى الاتجاه \downarrow). هذا يوافق توافر حالات مشغولة في العصابات الطافية باتجاهات سبيبن down أكثر؛ ويتحقق ذلك بانتقال الساحة الرمادية الفاتحة في كثافة الحالات سبيبن "up" إلى كثافة الحالات سبيبن "down".

❖ **تكون الإلكترونات s** (وفي بعض الأحيان الإلكترونات p أيضاً) **الكثافة الإلكترونية الحرية المأولة** للحالات التي تحقق القانون $g(E) \sim \sqrt{E}$.

❖ **ولكن** كثافة الحالات من أجل الإلكترونات d **تبعد مختلفة تماماً**. إذ يبدو أن العصابة d موجودة في مجال طافي صغير فقط حيث تكون كثافة الحالات مرتفعة نسبياً ومتمرة بمعظمها عند طاقة فرمي. يمكن فهم ذلك من خلال دراسة سلوك الإلكترونات d:

▪ **تكون العصابة أضيق طاقياً، لأن الطبيعة المتوضعة للحالات-d تؤدي إلى تراكب أقل للتتابع الموجية**

وانشطار طاقي أصغر. وهذا ما قمنا بدراسته، في نموذج الرابطة الشديدة:

▪ **إذ أظهرت المعادلة (60-6)**, $\int \phi_n^*(\vec{r}) v(\vec{r}) \phi_n(\vec{r} - \vec{R}) d\vec{r} = \gamma(\vec{R})$, أن المتحول γ الذي يُعين

عرض العصابة الطافية **متعلق بمقدار التراكب** فيما بين التتابع الموجية في الموضع المتجاورة.

▪ **فهذا التراكب** من أجل الإلكترونات d المتوضعة **صغير** ومن ثم عرض العصابة الطافية ضيق.

▪ **إن كثافة الحالات مرتفعة، لأن العصابة الضيقة يجب أن تعديل الحالات-10d** بالنسبة لكل ذرة في البلورة.

- وأخيراً، **معظم** كثافة الحالات متمركزة عند طاقة فرمي، لأنها ممتلئة جزئياً فقط؛ فمن أجل $Fe_{26}^{(1s^2 2s^2 2p^6 3s^2 3p^6 3d^6 4s^2)}$ تكون مشغولة بستة إلكترونات d من الإلكترونات العشرة-d. لقد اختيرت العصابة-d في الشكل (6a-8) ليكون نصفها ممتلئاً.

لنتصور الآن حالة تتصف بتمغnet بـ تلقائي ناتج من الإلكترونات d (طاقة التبادل من أجل الإلكترونات s صغيرة جداً لدرجة الإهمال). لنفرض أنه لدينا إلكترونات بسبعينات تتجه نحو **الأسفل** (\downarrow) "Down" Spin أكثر من الإلكترونات بسبعينات تتجه نحو **الأعلى** (\uparrow) "Up" Spin. ولهذا السبب يسمى السين (\downarrow) سيناً **أثثرياً** والسين (\uparrow) **أقلياً**.

- نعلم الآن بأن الحالة المغناطيسية **مستقرة** بدليل أن الإلكترونات ذات السين (\downarrow)-down تكتسب طاقةً من رتبة الطاقة التبادلية والإلكترونات ذات السين (\uparrow)-up تخسر هذه الطاقة التبادلية.
- بهذا الشكل، **تنزاح كثافتاً الحالات الموافقان طقلياً بشكل متعاكسي**، كما يوضح الشكل (6b-8).
- وبهدف الاحتفاظ بطاقة فرمي ثابتة، **تقلب** الإلكترونات في ساحة كثافة الحالات المشغولة المظللة بلون رمادي باهت سبعيناتها من (\uparrow)-up إلى (\downarrow)-down، ومن ثم يتم بلوغ التمغnet المطلوب بإلكترونات أكثر، سبعيناتها (\downarrow)-down.

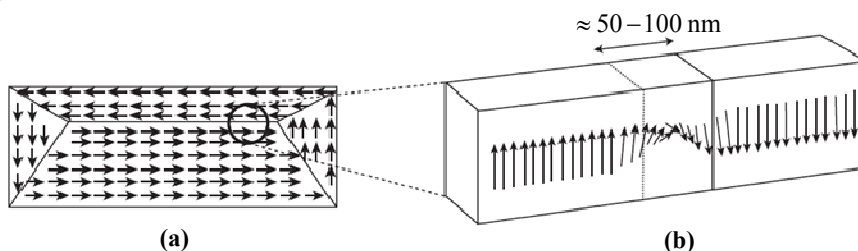
يوضح الشكل (6b-8) أن الكثير من الإلكترونات بجوار النهاية القصوى الحادة لكثافة الحالات d انتقل نحو الطاقات الأدنى حيث يمكننا رؤية التمغnet مباشرةً واعتباره ريشاً طقلياً.

- يمكننا أيضاً أن نفهم، لماذا **يقدور** التمغnet الأقصى عند الدرجة K=0، أن يوافق عددياً كسرياً من العزوم المغناطيسية في كل وحدة خلية: إن تمغnetاً تماماً للإلكترونات d سيوافق شغوراً تماماً للعصابة d بسبعينات (\uparrow)-up، ولكن مع الانزياح المستمر هنا، فإن أي تمغnet جزئي يكون ممكناً.

4-5 الدومينات الفرومغناطيسية :Ferromagnetic Domains

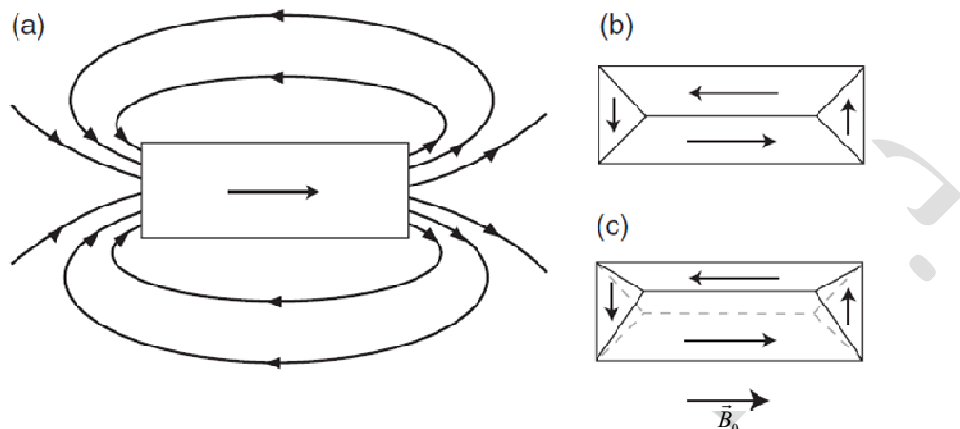
لا يبيدو أن كل المواد **الفرومغناطيسية** **ثبدي** تمغnetاً ماكروسوبياً تحت درجة حرارة كيوري. إذ من الضروري أحياناً "مغنتها" بحقل مغناطيسي خارجي، والسبب يكمن في وجود دومينات **مغناطيسية** *Magnetic Domains*، كما افترض وايس P. Weiss عام 1907، راجع الشكل (7a-8):

- تتصف الدومينات باتجاهات تمغnet مختلفاً بحيث أن التمغnet الوسطي الكلّي للعينة يساوي الصفر تقريباً.
- يفصل بين الدومينات ما يسمى **حواجز بلوك** *Bloch Walls* التي يدور التمغnet فيها من اتجاه آخر. تبلغ سمّاكة حواجز بلوك عادةً نحو 50-100 nm.
- يمكن جعل الدومينات المغناطيسية مرئيةً:



الشكل (7-8): (a) دومينات بمغنة مختلفة في جسم صلب فرومغناطيسي. (b) مشهد تفصيلي لدوران التمغnet في حاجز بلوك بين دومينين.

- باستعمال مسحوق حديد ناعم جداً يُنشر على مغناطيس (أي بتطبيق ما يسمى طريقة بيتر *(Bitter Method)*، أو عن طريق ما يسمى عادةً بمفعول كير *Kerr Effect*، أو باستعمال المجهر النفقي الماسح *STM* والاستقطاب - السبياني.



الشكل (8-8): (a) مادة مغناطيسية بدمون وحيد يسبب حقلًا خارجيًا قويًا. (b) إدخال دومينات جديدة يُنخفض الحقل الخارجي كثيراً. (c) يمكن للمادة أن تتمyxّط بانتقال حواجز الدومينات نتيجةً لتطبيق الحقل الخارجي B_0 . الخطوط الرمادية المتقطعة توافق الإشارة قبل التعرض لـ B_0 .

يمكن إدراك وجود الدومينات من خلال دراستنا لما يحدث في المادة عند تبریدها إلى ما دون درجة حرارة كيوري؛ حيث يتسلّل **انتظام فرومغناطيسي** في أماكن مختلفة من العينة تلقائياً وت تكون حواجز بلوخ حيث تتلامس الدومينات. ثمة طريقة أخرى أيضاً تشرح منشأ الدومينات:

▪ لندرس مغناطيسياً أحادي الدومن، كما في الشكل (8a-8). فهو يسبب حقلًا مغناطيسياً قوياً خارج المادة **بكثافة طاقية محددة**.

▪ بإدخال بضعة دومينات، كما يظهر في الشكل (8b-8)، ينخفض الحقل الخارجي القوي كثيراً، مما يؤدي إلى ربح طaciٍ؛ ولكن تكالفة ذلك، هي **طاقة تشكيل حواجز الدومينات**؛

✓ إذا لم تكن طاقة التشكيل كبيرة جداً، فإن حالة وجود بضعة دومينات ستكون مفضلة.

✓ وإذا طبق الآن حقل خارجي، يمكن أن تتمyxّط العينة عن طريق انتقال حواجز الدومينات بعضها بالنسبة لبعض، كما في الشكل (8c-8).

→ من الواضح أن انتقال حواجز الدومينات يُعد الطريقة الأكثر فعالية للتغيير تمyxّط المادة.

✓ ثمة آلية أخرى لفعل ذلك، تكمن في انقلاب عزوم مغناطيسية فردية في منتصف دومن معطى فيتتغير التمyxّط فجأة في كامل الدومن. غير أن الحاجز الطaciٍ أمام انقلاب العزوم الفردية عالي جداً، لأن عملية بهذه يجب أن تعاكس حقل وايس الموضع الكبير جداً.

8-5-5 دورة البطاء المغناطيسيي :Hysteresis

بتحريك حواجز الدومينات في عينةٍ من مادة فرومغناطيسية عن طريق تطبيق حقل خارجي، B_0 ، يمكن تحصيل تمعنطات مختلفة. فالشكل (9-8) يُظهر حالةً من أجل عينة لم تكن ممغنطة في الأساس موجودة في حقل متغير ببطء، $: B_0$

→ يكون التمغنط، M ، في البداية مدعوماً، ثم يزداد عند تشغيل الحقل الخارجي؛ فمن أجل شدة حقل محددة، تتمغنط العينة بشكلٍ كاملٍ في اتجاه واحدٍ، أي يتم بلوغ **تمغنط الإشباع** $. M_s$ ، Saturation Magnetization.

→ وعند تخفيض الحقل الخارجي **من جديد**، يتناقص التمغنط، ولكنه لا يبلغ الصفر من أجل $= 0 B_0$ ، وإنما يبلغ ما يسمى **تمغنطاً متبقياً** $. M_r$ ، Remanent Magnetization.

→ **أول** بلوغ للتمغنط الصفرى، $= 0 M$ ، يكون عند **الحقل القاهر** $. B_c$ ، Coercive Field ، في الاتجاه المعاكس؛ حتى من أجل حقل خارجي، B_0 ، أقوى في الاتجاه المعاكس يتم بلوغ حالة الإشباع مرةً أخرى.

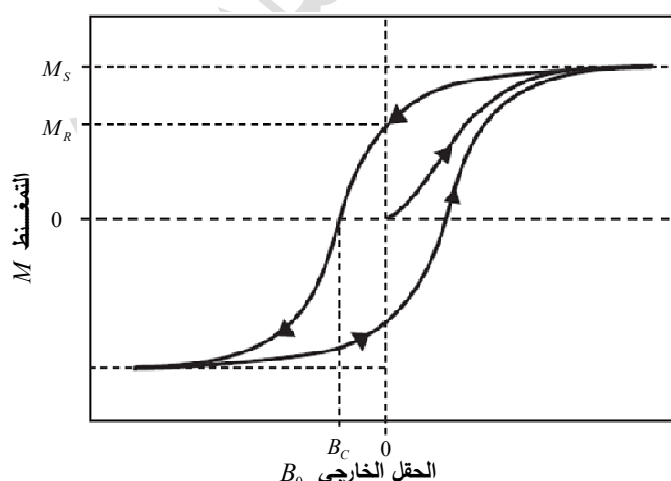
يمكن سبب هذا **البطاء أو التخلف المغناطيسي** Hysteresis **جزئياً** في أن انتقال حواجز بلوخ عبر العينة لا يُعد عملية بسيطة عكوسية. إذ لا بد أحياناً أن يتجاوز حاجز بلوخ عيوباً وهذا يستوجب استهلاك طاقة.

فالطاقة المبددة من أجل دورة مغلقة واحدة من منحني البطاء المغناطيسي، يمكن أخذها مباشرةً من المنحني إذا تم عرضه بطريقة مختلفة قليلاً، من خلال رسم التابع (H) ، عوضاً من رسم التابع (B) . **وعندما تساوي الطاقة المبددة** $\oint B dH$ ، أي **المساحة المحدودة** بمنحني البطاء المغناطيسي: يبدو المنحني $B(H)$ مشابهاً تماماً لـ المنحني (B_0) ، ولكن لا يُؤدي الإشباع في السياق ذاته، لأن الحقل B يبقى متزايداً عند ازدياد H حتى وإن كان M مشبعاً (راجع العلاقة (3-8)).

يمكن الحصول على دورة البطاء المغناطيسي أيضاً في نموذج بسيط من أجل بلورة خالية من العيوب. **لدرس مثلاً** فرماغنطيس بدومن وحيد عند درجة حرارة منخفضة جداً:

→ تترافق كل السبيّنات باتجاه الحقل المغناطيسيي الخارجي المطبق.

→ والتترافق لن يتلاشى عند فصل الحقل الخارجي. في الواقع، لا بد من **حقل يكون في اتجاه معاكس للحقل الأخير وبشدة معقولة لكي ينعكس التمغنط**، إذ يجب أن تقلب جميع السبيّنات. وحالما يتم بلوغ



الشكل (9-8): تمغنط عينة فرماغنطيسية كتابع لحقل خارجي مطبق $. B_0$. نقطة بداية المنحني هي مبدأ الإحداثيات.

ذلك، يمكننا فصل الحقل الخارجي من جديد وجعل شدته صفرًا مع بعض التغيرات الإضافية في التمغنط.

يتعلق الشكل الدقيق لمنحني البطاء المغناطيسي بنوع المادة وبنيتها بشكلٍ كبيرٍ؛ إذ يمكن حياكة هذه المادة لتلاءم متطلبات تطبيقات محددة؟

- **إذا كان الهدف** الحصول على مغناطيس دائم جيد، فيطلب أن يكون التمغنط المتبقى كبيراً والحقل القاهر مرتفعاً. ومثل

هذه الخصائص تصف ما **يدعى بالمغناط القاسية** *Hard Magnets* التي يمكن استعمالها **كذواكر مغناطيسية**.

→ ولتحقيق هذه الأهداف يمكن القيام بأشياء محددة؛ كأن نجعل الحجم الحبيبي للمادة أصغر من الحجم العادي لدومن مغناطيسي.

→ وعندما، لا تستطيع الحبيبات أن تغيّر مغناطتها من خلال انتقال حواجز الدومينات؛ **إذ لفعل ذلك على المغناطة أن تقلب ككل**، وهو ما يُعد عملية مكلفة.

• في الحالة الحرجية **المعاكسة**، ثمة حاجة لما يسمى **بالمغناط اللينة** *Soft Magnets*، من أجل تطبيقها في المحولات الكهربائية مثلاً.

▪ فكما رأينا أعلاه، الطاقة المبذلة في كل دورة تمغناط تساوي المساحة المحدودة بدورة البطاء المغناطيسي.

▪ وتُفقد هذه الطاقة في محولة عادية 50 (أو 60) مرة في **الثانية**، ولذلك من الضروري أن تكون المساحة غير كبيرة.

▪ وهذا يعني، أنه لا بد من الحصول على حقل قاهر صغير وتمغناط متبقٍ ضعيفٍ.

▪ وفي الوقت ذاته، يجب البحث عن حقل إشباع مرتفع ومادة بمقاومة عالية بغرض تخفيض تيارات إدي إلى أدنى قيمة. Eddy Currents



A to Z مكتبة